

« . . . »
« - »
« »
« . . . »
»
" « . . . » "
« - . . . »
« »

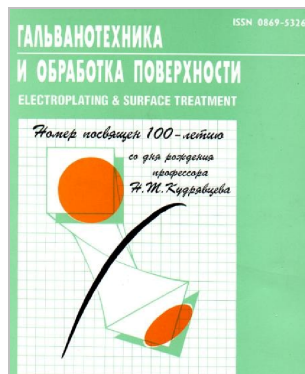
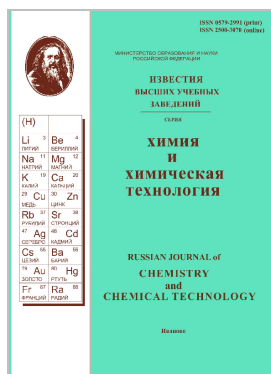
XII

001.8:544.6 (043.2)

«
XII

»,
13-17

2021
, 2021. - 143 . ISBN 978-5-905364-18-1



143405,



.
. . 1
. +7969-077-7272
e-mail: akalodgic.ru@gmail.com
www.ilpa-tech.ru



« »
427968,
. 3,
. / (34147) 4-27-53, 4-32-48
e-mail: elecond@elcudm.ru
: www.elecond.ru

ISBN 978-5-905364-18-1

©

. , 2021



:

· · · (,)
 : · · · · · (,)

:

· · · (,)
·- · · · (· · · ,)
· · · (,)
· · · (,)

· · · (,)

· · · (,)
· · · (· · · ,)
· · · (· · · ,)
· · · (,)
· · · (,)
·- · · · (,)
· · · (,)
· · · (,)
·- · · · (,)

· · · (· · · ,)

· · · (,)
· · · (,)
· · · (,)
· · (,)
· · · ((), -)
· · · (,)
· · · (,)
· · · · · (,)
· · · (,)
· · · (,)

$\dots(\dots, \dots)$
 $\dots(\dots, \dots)$
 $\dots(\dots, \dots)$
 $\dots(\dots, \dots)$
 $\dots(\dots, \dots)$
 $\dots(\dots, \dots)$

$\dots(\dots, \dots)$
 $\dots(\dots, \dots)$
 $\dots(\dots, \dots)$
 $\dots(\dots, \dots)$
 $\dots(\dots, \dots)$
 $\dots(\dots, \dots)$
 $\dots(\dots, \dots)$
 $\dots(\dots, \dots)$
 $\dots(\dots, \dots)$
 $\dots(\dots, \dots)$
 $\dots(\dots, \dots)$

sakusmanov@yandex.ru

«

».

75

1991

50

400

and Applied Electrochemistry

Surface Engineering
Elsevier.

«

».

» II

» «

».



krivenko@icp.ac.ru

()
WoS

5.5

« »

- 19-119061890019-5.

1
2
3

1,2, 2
156005,
, 3003
, MD-2028
aidikusar@gmail.com

[1], (18 10 612) -

$$1 - 100 / 2$$

: a)
(FRD, 20-2000 μs, 10-2),) FRD
(s 2),)

() [3] (PDM) [2]

FRD

1. Dikusar A.I., Likrizon E.A., Dikusar A.I. // Surf. Eng. Appl. Electrochem. 2021.V 57.P. 10.
2. Macdonald D.D. // Electrochim. Acta. 2011. V. 56. P. 1761.
3. 1989. C. 140

“Smartelectrodes” (778537), ANCD () 19.80013.50.07.06 /BL, 2020
(. ,)
. (. ,)

antitov@mail.ru

[1],

?

1. . . // .2006. .51. 4. .675.

20-03-00275

ruslanfelix@yandex.ru

Zn-Ni

10 -

Zn-Co

9.5

1,

(

1,

5 4

1 - 3,

).

1,

0.3 - 0.4 ,

5

-0.3 .

1 - 3

-0.3 - -0.1 ,

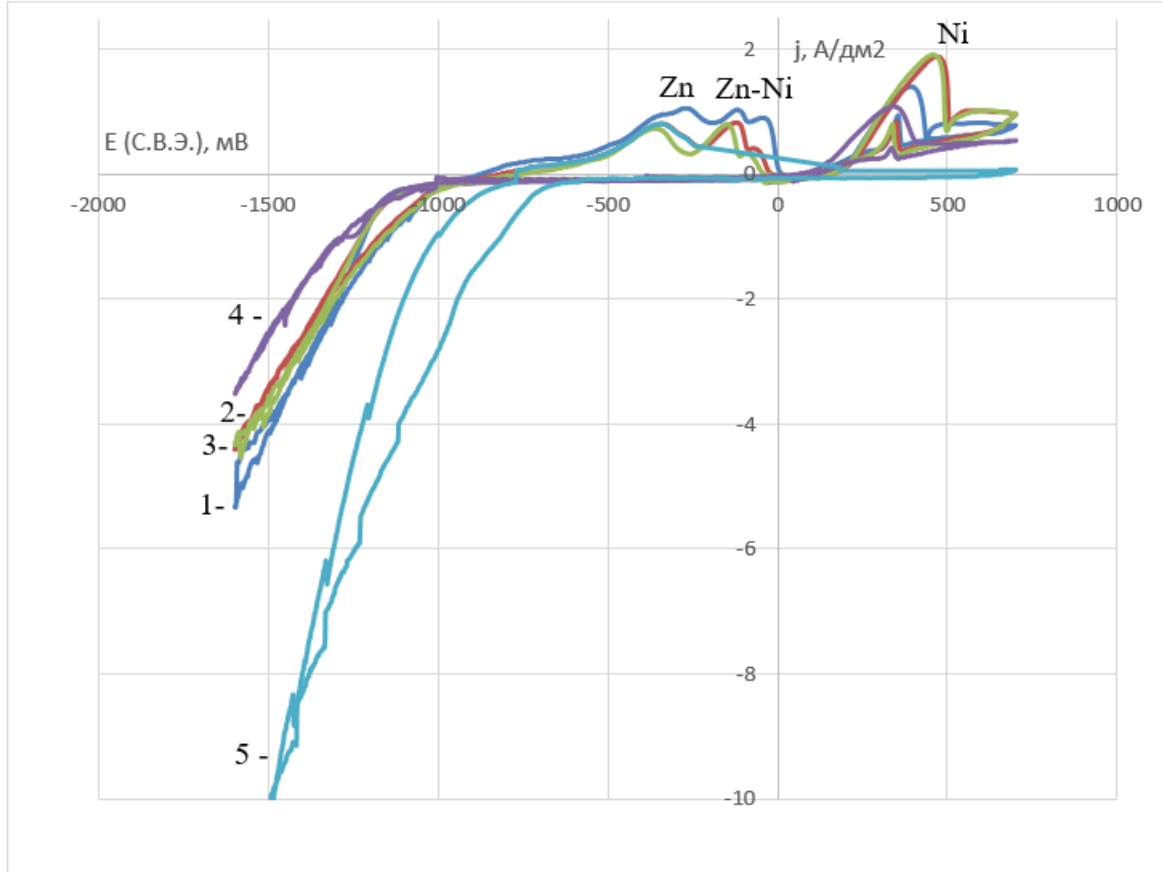
1,

Zn-Ni

3 16

Ni,

1.5%



1. 1-5 (1) 20°C

1. Zn-Ni, Zn,

Ni. 20-50°C, pH 6.1-6.5

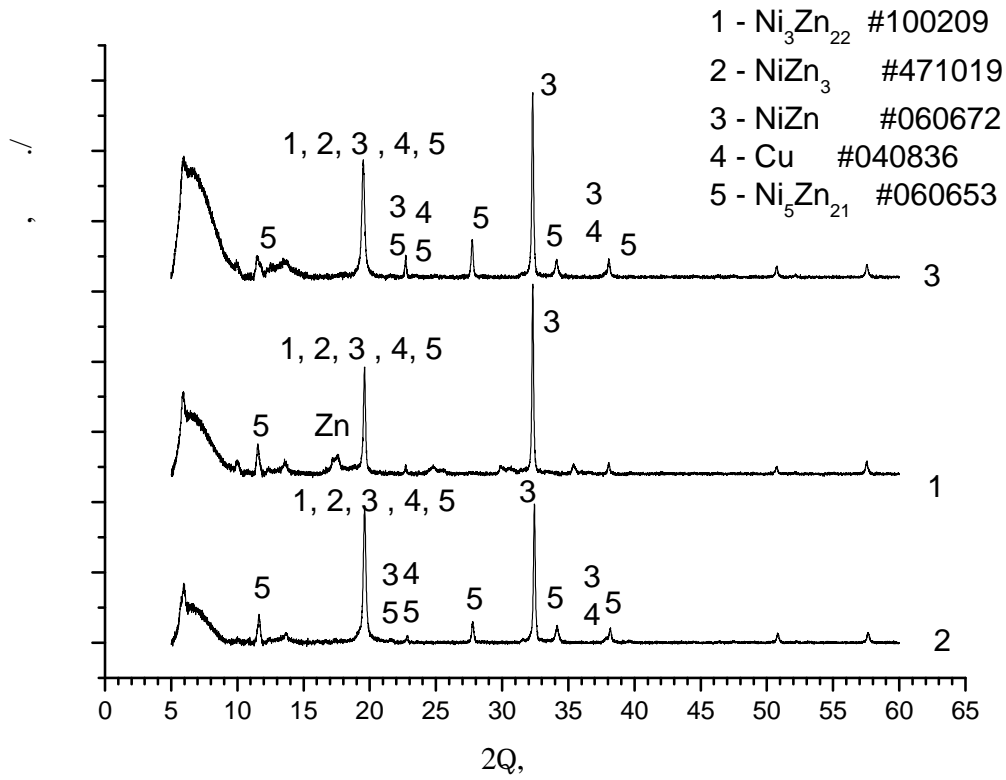
| : | 1 | 2 | 3 | 4 | 5 |
|--|-------|-------|-------|-------|-------|
| $(\text{NH}_4)_2\text{C}_2\text{O}_4 \cdot \text{H}_2\text{O}$ | 0.704 | 0.704 | 0.704 | 0.704 | 0.704 |
| $\text{NiSO}_4 \cdot 7\text{H}_2\text{O}$ | 0.042 | 0.063 | 0.084 | 0.063 | 0 |
| $\text{ZnSO}_4 \cdot 7\text{H}_2\text{O}$ | 0.084 | 0.063 | 0.042 | 0 | 0.063 |

NiZn, Ni₅Zn₂₁,

Ni,

Zn-
2 3,

Ni₅Zn₂₁ (2).



2.

1-3

«

»

2020-0010).

(FZZW-

(14-03-00360-).



1 . . 1, . . 1, . . 1, . . 1

alekseeva_ev@yahoo.com

+60°

-40°

#20-03-00746

"

" "

"

maxdon79@yandex.ru

1-2

Mo₂

3...10

20-30%-

NaOH

(. .).



(. .).

800

FZZW-2020-0010.

Fe-W :

1 . . . 1, 2,3 , . . . 1,3 , MD-2028
 2 , , 156005
 3 , , 3003
aidikusar@gmail.com

(W,Mo, Re) [1],
 () ,
 , (, “ ”
).
 50% () ,
 Fe-W
 () -
 20-80⁰ ,
 (“ c ”) ([FeO]).
 [1-3].

1. Eliaz N., Gileadi N. // Modern Aspects of Electrochem.2008, 42, 191.
2. Podlaha E.J., Landolt D.J. // Electrochem. Soc.1996 V. 143. P. 893.
3. Krasikov V.I., Krasikov A.V.// Bulletin SPb STU (TU). 2016. V. 36. P. 12.

“Smartelectrodes” (778537), ANCD () 19.80013.50.07.06 /BL, 2020
 (. ,)
 . . . (. ,)

st803431@spbu.ru

poly[Ni(CH₃OSalen)] (. 1)

3 , 3,6 . 4,2
(. 1). 50 , 6,0 .

poly[Ni(CH₃ Salen)],
(. 1 ,).

6,0 .

poly[Ni(CH₃OSalen)]

6,0

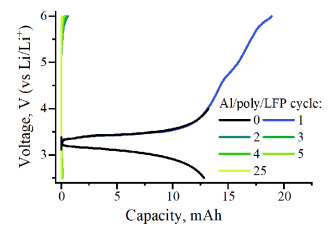
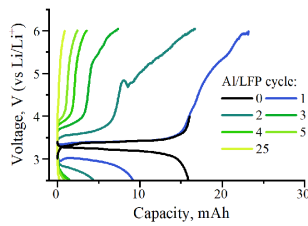
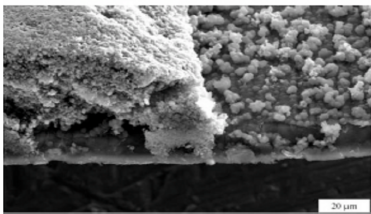
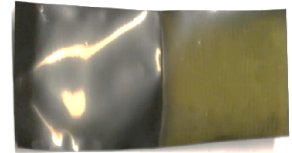
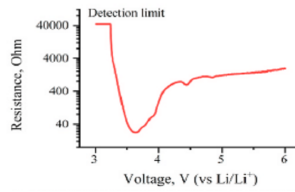
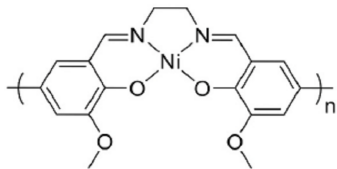
Al/poly/LFP

Al/LFP

25

Al/poly/LFP.

1 , . ,
Al/LFP



. 1.

() ;

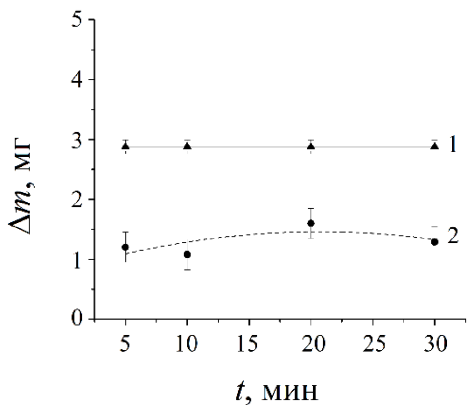
() ;

() Al/poly/LFP ()

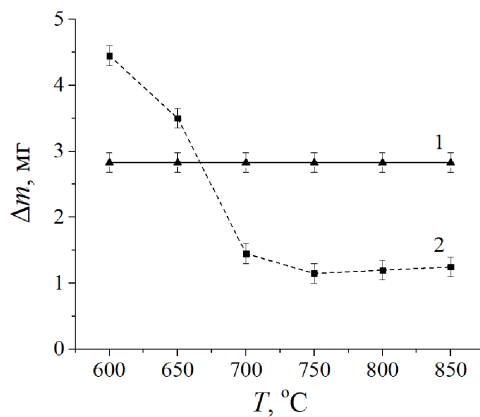
(19-19-00175).

Solne4nyjkrug@bk.ru

6
 6
 5% 2,6 / 5% 30±2
 5 30
 600 850
 6
 750° 10 90 820 HV
 (2) 6).
 (. 1)
 (. 2),



. 1.



. 2.

750°

10

79-10094-)

(18-

valeria_bel@mail.ru, balmasov@isuct.ru

0,15 / .

30

HCl

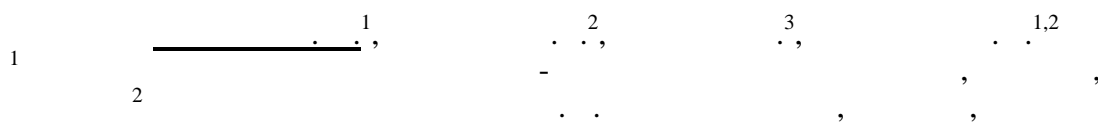
5-7

3

20-33-90203.

« »

(4-)

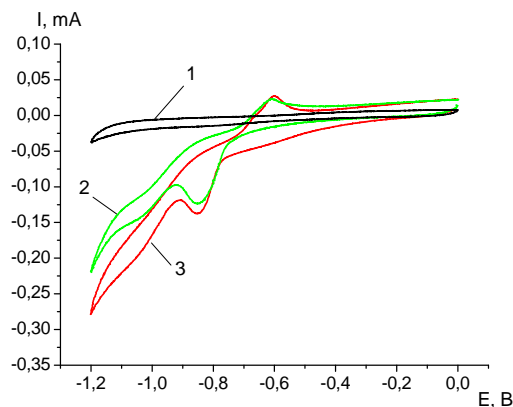
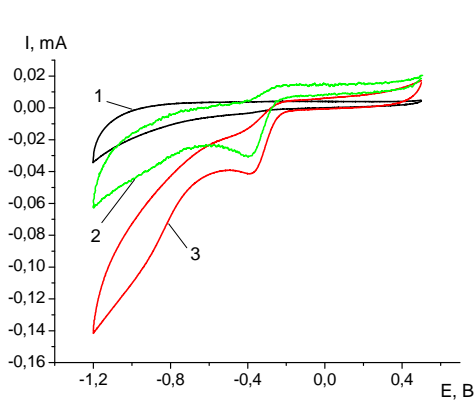


³University Union Nicola Tesla, Belgrade, Serbia
mvt@isc-ras.ru

[1].

CO₂:
 /
 Pt [2].

5,10,15,20- (4-)



1. -
 , 2 -
 2T(4-Py)P. -
 , 2 - ITO-
 , 3 -
 : 1 - ITO-
 - 2T(4-Py)P.
 - 2T(4-Py)P

12 , 6 % (. 1).

2

1. Kruusenberg I., Matisen L., Tammeveski K. // Journal of Nanoscience and Nanotechnology. 2013. V. 13. N. 1. P. 621-627.
 2. Yamazaki S., Yao M., Siroma Z., Ioroi T., Yasuda K. // J. Phys. Chem. C. 2010. V. 114. P. 21856-21860.

1. 2. 2. 1. 3.

2. « », volkovstst@mail.ru

3

1790-

1800 « »

« - » (« »).

(« »), (70

1880-

[1-3].

1900-

1919

[4],

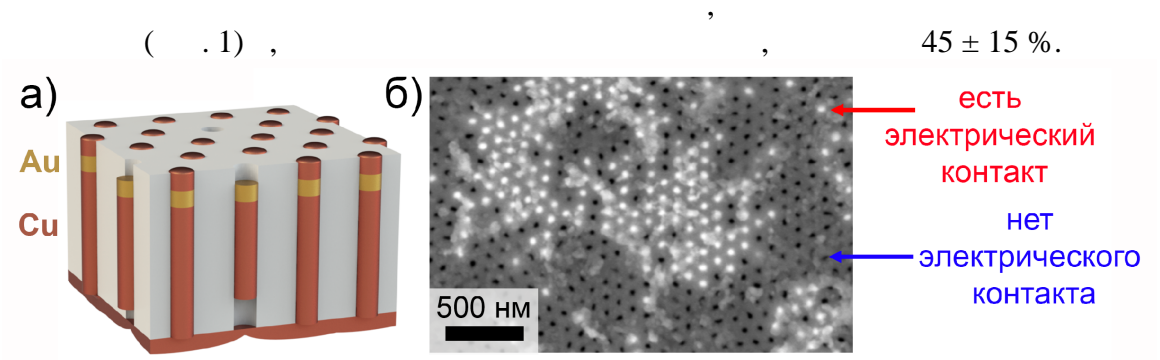
« »

1. .- .: , 1974. 568 .
2. . . .- ., " , 1975. 568 .
3. . 2 . .2. /
4. .- .: , 1995. – 319 .
4. . . : , 1979. – 259 .

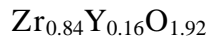
1
2

elenagordeeva_fnm@mail.ru

(), 40, 20 °, 0,3, 101 ± 1, 50 ± 1, 28 ± 6, Cu-Au-Cu, -16, Ag/AgCl, -0,1/-0,2, /, 04-, -1, 0,7 ± 0,1



1. : 3D (). ~1 -1959.2020.3 (075-15-2020-264).



:

1
2
3

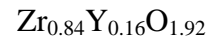
1, 1.2, 3, 1

elenagordeeva_fnm@mail.ru

800-1000 °

500-700 °, 10

()



(YSZ)

0.1 H₃PO₄ 195

1500 °

346 ± 53, ~ 40%,

1163 ± 45³/(²·
YSZ

(500 / 5, 3000 / 60)

YSZ 4.8 ± 0.2
1100 °

YSZ
1500/1300 °

YSZ

YSZ

500-900 °
YSZ

1·10⁻³ – 1·10⁻¹ /

18-29-11097.

sasha_uk-r@mail.ru

(, , .)

4-20 ,

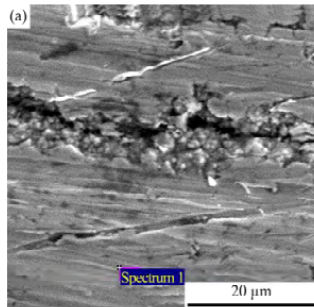
[1].

[2],

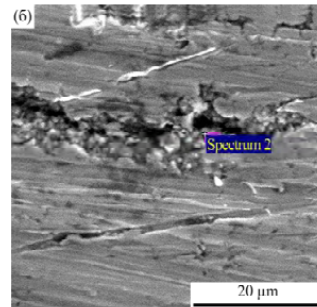
[3]

FeOH

() (),



| Element | Weight % | Atomic % |
|---------|----------|----------|
| Fe K | 61.32 | 83.92 |
| W M | 38.68 | 16.08 |



| Element | Weight % | Atomic % |
|---------|----------|----------|
| O K | 10.21 | 35.99 |
| Fe K | 51.87 | 52.38 |
| W M | 37.92 | 11.63 |

1 – (SEM)

0,2 /
()

()

1. Eliaz N., Gileadi E. Induced codeposition of alloys of Tungsten, Molybdenum and Rhenium with transition metals. // Modern Aspects of Electrochemistry. 2008, 42, p.191-301.
2. Tsyntaru N., Cesiulis H., Donten M., et al. // Surf.Eng. Appl. Electrochem. 2012, v.48, p.491-520.
3. Brenner A. Electrodepositions of alloys. Principle and Practice. // Academic Press., New – York and London. 1963. 658 p.

BMI_mX (X = TFSI⁻, OTf⁻, DCA⁻)

epg@isc-ras.ru

()

99
(BMI_m⁺)

(GNT)

OTf⁻, DCA⁻ 1- -3- TFSI⁻ (55
(Halloysitenanoclay, Al₂Si₂O₅(OH)₄×2 H₂O)

. %) –

80° 24 .

()

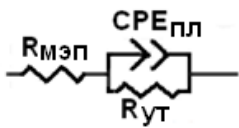
(23±1 °)

Solartron SI 1260A Impedance/Gain-
10
ZPlot

Phaseanalyzer (Solartronanalytical,)

ZView 2.

(-)
.1 [1].



.1-

(,) , R -

Z_{CPE} -

, $j^2 = -1$, n -

$1^{3n-30.9}$

$$Z_{CPE} = Q^{-1}(j\omega)^{-n}$$

$$\omega = 2\pi f$$

$Q=C$.

$n=0.9\pm 0.01$,

DCA⁻

99.

1. General Descriptions of Aluminum Electrolytic Capacitors. 1-6 Characteristics. Technical notes CAT.8101C. Nichicon Corporation.

18-29-12012_

tdavydkova@muctr.ru

(), (),
 40 – 50
 (, , , ,
 (), () 10 – 15%.
 (, %) 20
 1
 (, %) (50%,
 75%, 95%).

1 –

| | / | | | |
|----------|------|-----|-----|-----|
| | *100 | 50 | 25 | 5 |
| , , % | 0 | 50 | 75 | 95 |
| | 8–10 | 4–6 | 2–3 | 1 |
| [0,2 /] | 10 | 20 | 50 | 100 |
| 1 / | | | | |

10 3/ , 3- (24),
 2400 , – 0,2 / (0,4
 /) (). 5 – 10 / NTU 20 – 40 . 1 0,8 – 1,4
 , 45 – 60 .
 – 95% 1
 ; 75% - 2 – 3 ; – 50% 4 – 6 .
 (Al(OH)₃, -) 90%
 100 %; – 50% 1 20 . 0,4 1
 2 .

FE-W

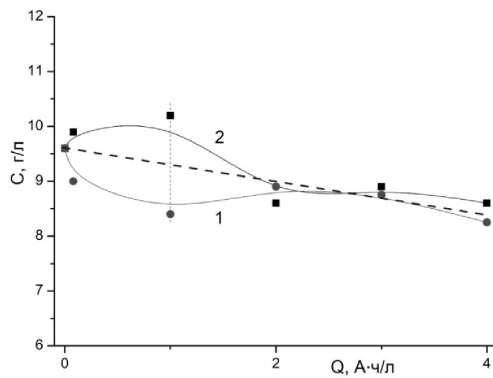
vik-dani@mail.ru, 128, .25

[1-3].
[4-10],
[4, 5, 7]
Fe-W
[11].

$1-2 \cdot 10^{-4} \quad 2 \cdot 10^{-2} (\dots)^{-1}$ [11].

MF 0,74 0,42
[4,12] 0.5
 $Q \sim 1 \dots /$

. 1).



. 1

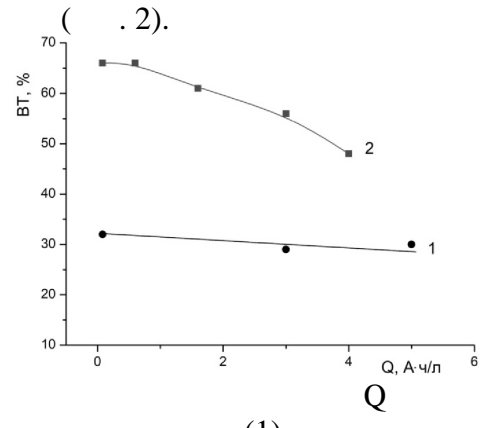
Fe-W

0,76

1 /

(. 1).
 ([4] 0.74)
 (. 1).
 (2)

~ 4 / ~ 50% [4].
 Fe W



. 2
 (1) 0,76 (2)

Fe(III) Fe (II)

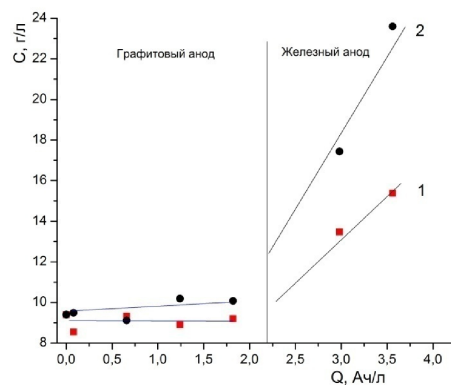
Fe(III)

Fe(III)

Fe(II).

50%

(. 3).



. 3

Fe-W

0,42

(1)

(2)

[5, 6, 10].

[1] Eliaz N., Gileadi N. Modern Aspects of Electrochemistry. 2008. V. 42, P. 191-301

[2] Tsyntsaru N., Cesiulis H., Donten M., Sort J., Pellicer E., Podlaha-Murphy E. J. Surf. Eng. Appl. Electrochem. 2012. V. 48 (6). P. 491-520.

[3] Cesiulis H., Tsyntsaru N., Podlaha E., Deyang Li, Sort J. Current Nanoscience. 2018. V. 14. P. 1-16.

[4] [https://doi.org/10.1007/s11837-020-04514-2](#). 2020. 56 (1), 14-26.

[5] Ishida K., Morikawa T., Miyake M., Hirato T. J Surf Finish Soc Japan. 2016. Volume 67. Issue 9. P. 489-493.

[6] [https://doi.org/10.1007/s11837-019-04514-2](#). - 1998, - VI, No3, - 24-28

[7] Danil'chuk V.V., Shulman A.I., Gotelyak A.V., Yushchenko S.P., Kovalenko K.V., Dikumar A.I. Russ. J. Appl. Chem. 2020. V. 93 (3). P. 372-377.

[8] Belevskii S.S., Bobanova Zh.I., Buravets V.A., Gotelyak A. V., Danil'chuk V. V., Silkin S. A., Dikumar A. I. Electrodeposition of Co-W Coatings from Boron Gluconate Electrolyte with A Soluble Tungsten Anode // Russ. J. Appl. Chem. 2016. V. 89 (9). P. 1427-1433.

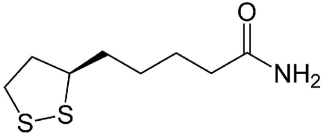
[9] Belevskii S.S., Gotelyak A.V., Silkin S.A., Dikumar A.I. Surf. Eng. Appl. Electrochem. 2019. V. 55 (1), P. 46-52.

[10] [https://doi.org/10.1007/s11837-019-04514-2](#) (Co-W) " 28.11.2017 .

[11] [https://doi.org/10.1007/s11837-019-04514-2](#) -1998 - 4. - C.187-192.

[12] Belevskii S.S., Gotelyak A.V., Yushchenko S.P., Dikumar A.I. Surf. Eng. Appl. Electrochem. 2019. V. 55 (2). P. 119-129.

terrakott37@mail.ru



[1,2].

[3],

() (DPPH) -

2,2- -1- :

() DPPH

DPPH

-30SM, Elins ().

(515)

7.4.

(24).

1. H.L.Persson, A.L. Svensson, U.T. Brunk. // Redox. Rep. 2001. V. 6. P. 327
2. X. Li et al. // Free Radic. Biol. Med., 2008. V. 44. P. 1465
3. E.S. Dolinina, E.Yu. Akimsheva, E.V. Parfenyuk//J. Mater. Res.. 2021. V. 36. P.499

19-73-00040

1
2
t.zakharchenko@chph.ras.ru

N₂ H₂ . 90%

[1].

()

10%

Li [2], Na [3], Al [4].
59, 26, 51%,

Li IO₄

TGP-H-90 (Toray) #4412 (SIGRACET),

Na-N₂ [3]

-MnO₂,

1. Qing G. et al. // Chem Rev. 2020. . 120. 12. . 5437–5516.
2. Ma J.-L. et al. // Chem. 2017. . 2. 4. . 525–532.
3. Guo Y. et al. // Energ Environ Sci. 2020. . 13. 9. . 2888–2895.
4. Ge B. et al. // Energy Storage Mater. 2019. . 23. . 733–740.

(-3153.2021.1.3)

kamenskymisha@yandex.ru

1 LiPF₆

()

()

[1,2].

()

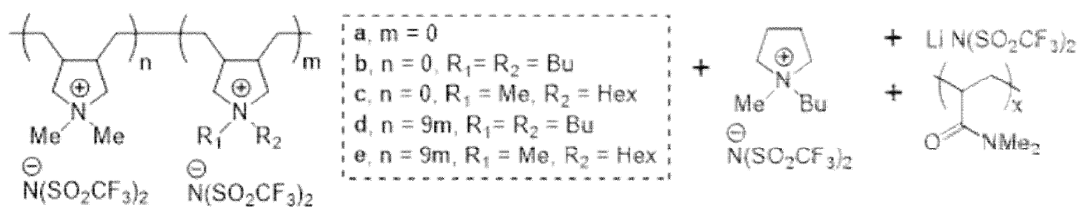
[3].

. 1.

N, N-

(N, N-

).



1.

($10^{-7} - 10^{-5}$. ⁻¹).

(2.0).

LiFePO₄

CR 2032

Li/Li⁺

2.0 – 4.0

60

°C.

1. Long L. et al. // J. Mater. Chem. A. 2016. Vol. 4, 26. P. 10038–10039.
2. Zhao L. et al. // J. Memb. Sci. 2020. Vol. 593 P. 117428.
3. Porcarelli L. et al. // Eur. Polym. J. 2018. Vol. 107 P. 218–228.

(20-53-56069).

)-2,3,7,8,12,13,17,18-

10,15,20-

-5-(4-

mihan16@bk.ru

)-2,3,7,8,12,13,17,18-

10,15,20-

-5-(4-

NO₂-

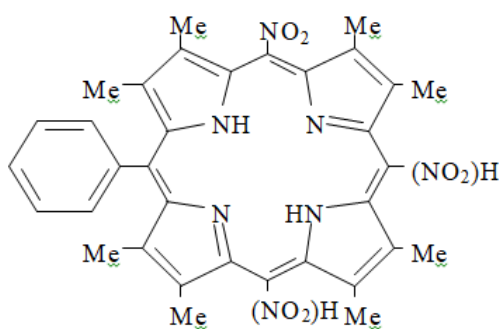
(.1).

I,E- (.2)

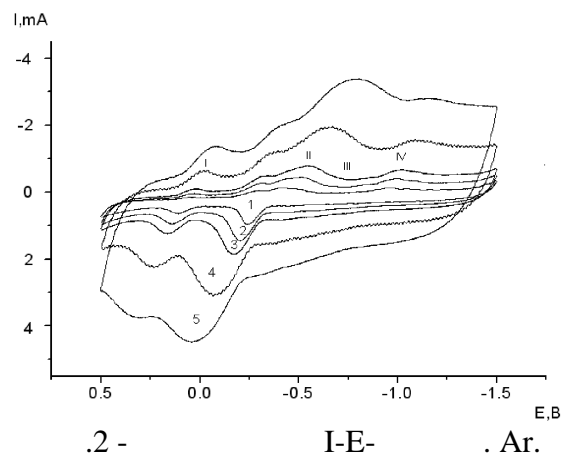
4

2

I,



.1 -

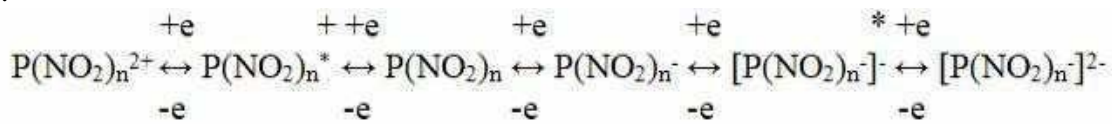


.2 -

I-E-

. Ar.

(+0.5...-1.5)



O₂.

)

- 10,15,20-

-5-(4-

)-2,3,7,8,12,13,17,18-

(3.1).

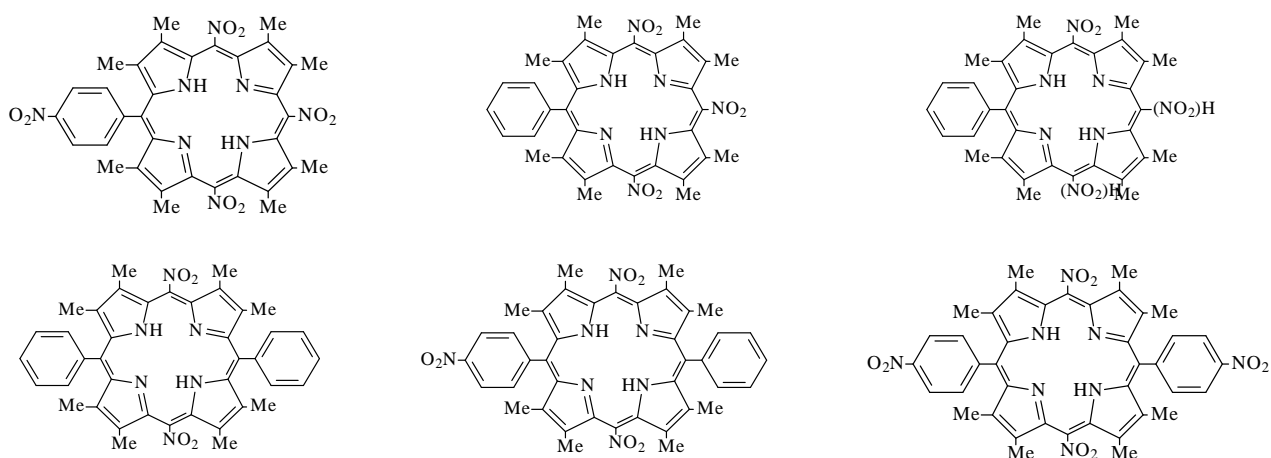
, 2-

4-

[1]. Ke X., Kumar R., Sankar M., Kadish K.M. // Inorg. Chem. 2018. V. 57. P. 1490-1503.

[2]. Berezina N.M., Klueva M.E., Bazanov M.I. // Macroheterocycles. 2017. V. 10(3). . 308-313.

bazanov@isuct.ru



I,E-

[1-2],

NO₂-

O₂.

2-

- 10,15,20-

-5-(4-

)-2,3,7,8,12,13,17,18-

3.1.

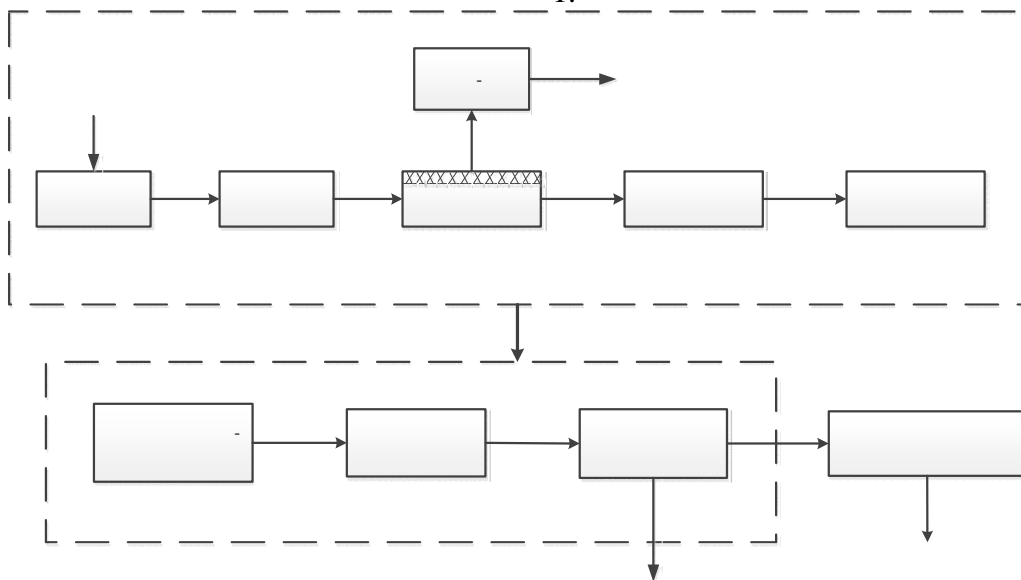
2- , 4-

[1]. Ke X., Kumar R., Sankar M., Kadish K.M. // *Inorg. Chem.* 2018. V. 57. P. 1490-1503.

[2]. Berezina N.M., Klueva M.E., Bazanov M.I. // *Macroheterocycles.* 2017. V. 10(3). . 308-313.

artkoles@list.ru

) (1.)



1 -

9.314
90-95%

9.314 (1 .),

95%

1

_____ 1, 1, 1

rmanzhos@icp.ac.ru

[1,2].

[3].

().

()

Pt-C, ~3.4 ~2.0 , ~15 .%.

-280 ~10²) 5 10
~0.5 1 Na₂SO₄. 300 ,

4.

Pt-

1. // . 2016. . 52. . 3.
2. // . 2017. . 53. . 1529.
3. // . 2019. . 55. . 7. . 854.

- 19-119061890019-5

korablewa.sveta@mail.ru

11

() ()

850°

10%

45 30±2°

15 5 30

5%-

1 2 45

5 30

1000 HV 30

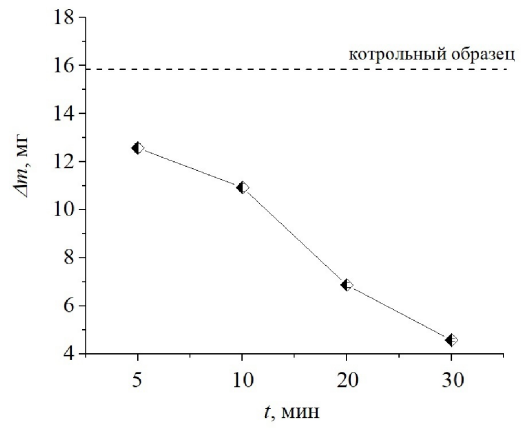
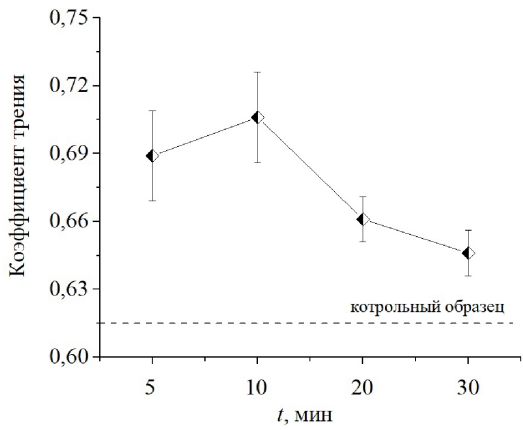
60 100

150

(. 1).

30 45,

1,3 3,5



. 1.

10 ,

45

1,555 / ,

1 ,

5%

1 2 ,

30 ,

(18-79-10094-)

1,2, 1, 1, 1

1 2

rmanzhos@icp.ac.ru

()

(~3.2),

()

()

(-) ~3.4

~2.0

-280 ~10⁻² 5 (-)

-150 300 10

~0.5 1 Na₂SO₄ [1] - 0.5 M H₂SO₄ -1.8 20

[Ru(NH₃)₆]^{2+/3+}

k⁰ = 0.01-0.02 /

[Fe(CN)₆]^{[1]4-/3-} k⁰ 0.002 - 0.005 /

1. . . . // . 2019. . 55. 7. . 854.

, - 19-119061890019-5

nkydo@mail.ru

[2, 3], Al_2O_3 , [1]. 08

08 (503-81),

(8 20 4Si , 2637-187-44493179-2014)

(2 / 2 5 , 5:1)
2 / 100:1.

~9.

10-140

500 °

(Solartron SI 1260A impedance analyzer)

3.5 %-

ZPlot ZView 2.

/SiO₂/ NaCl

1. B.E. Yoldas. Transparent activated nonparticulate alumina and method of preparing same. US Patent No.: 3,944,658. Mar. 16, 1976.

2. . . . 2019. .27. 2. .59-68. //

3. . . . 2020. .22. 1. .39-47. //

18-43-370030_ _

1- -1-

1 . . 1, . . 1, . . 1, . . 1,2
2 1
-
kno@isc-ras.ru

() ()

() - (BMPyrrDCA, Aldrich, > 97 %) -1- -1-
(BMPyrrNTf₂, Merck, > 98 %),
(SiO₂, 79 %).

BMPyrrNTf₂ BMPyrrDCA BMPyrrNTf₂ 80° -30°
4.75 1.30 / ; 0.094 0.007 / .
BMPyrrDCA (0.94 0.8 %).

BMPyrrNTf₂ (1.9 6.1 %)
4 . % 3 . %.
80° BMPyrrNTf₂, BMPyrrDCA
8 . %.
. % SiO₂ BMPyrrDCA 16.5 % 1.6 % 7.5
() 1- -1-

01201260481.

/

kno@isc-ras.ru

(, .)

() -

1- -3-

(BMIm , Aldrich, 95%,

2.3 .%),

-
2 .% ;

(Cel, powder, ~ 20 , CAS: 9004-34-6),

1-

- (Halloysite nanoclay, $Al_2Si_2O_5(OH)_4 \times 2$
 H_2O , CAS: 685445).

24 80° .

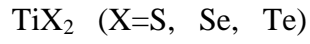
-40 +80 ° .

18-29-12012



1, 2, 3

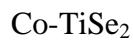
e-mail: suslov-ea@mail.ru



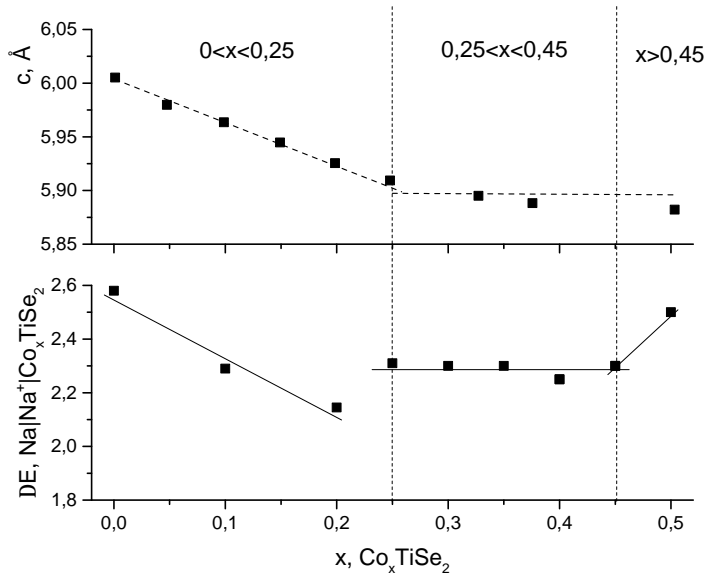
3d-

3d-

s-



($0 < x < 0,25$; $0,25 < x < 0,45$ $x > 0,45$),



(E)
 Co_xTiSe_2

3d-

$\text{Na|Na}^+|\text{Na}_y\text{Co}_x\text{TiSe}_2$ x ($0 < x < 0,25$; $0,25 < x < 0,45$ $x > 0,45$).

20-03-00275

1
2
3

e-mail: cuznecova89634485295@mail.ru

ResPES, ARPES
 $M_yMe_{1-y}X_2$ (M, Me –
 TiX_2 3d-

3d- , X –).

$M_xMe_{1-x}X_2$,

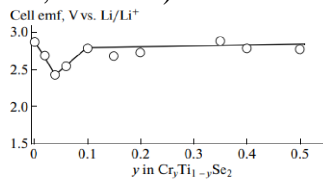
[1]

$Li|Li^+|M_yTi_{1-y}Se_2$.

$M_yTi_{1-y}Se_2$ (M=Cr,V)

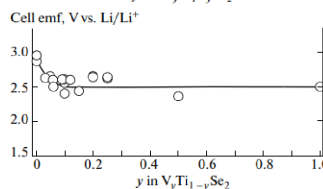
$TiSe_2$,

(.1,).



$Cr_{0,04}Ti_{0,96}Se_2$

$y < 0,04$



$y > 0,04$

$TiSe_2$.

.1.

$Li|Li^+|M_yTi_{1-y}Se_2$

$Cr_{0,04}Ti_{0,96}Se_2$

(),

().

$Li|Li^+|V_yTi_{1-y}Se_2$

(.1,).

0,3–0,5

$TiSe_2$,

y.

$Zr_yTi_{1-y}S_2$ (y=0.1,0.2).

()

1 Brezhestovskii M. S., Physics of the Solid State 57, 2078 (2015).

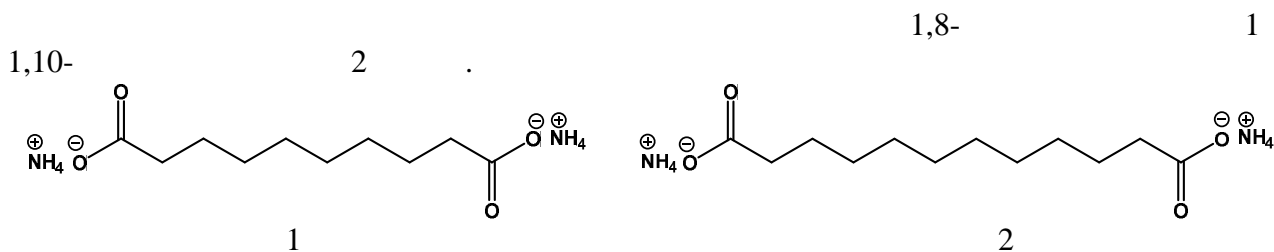
20-03-00275

19-33-60031

kuznetsova.alex.91@gmail.com

450 . , 60°C +100°C,

[1]



1 (0,05) 2 (0,06),

: [2],

2-

(, 0,06),

40 + 105 ° ,

450-485 .

1. Ue M. // Electrochemistry. 2007. V. 75. N. 8. P. 568 – 572.

2. . . . //

. X

. 2019. . 28 (110

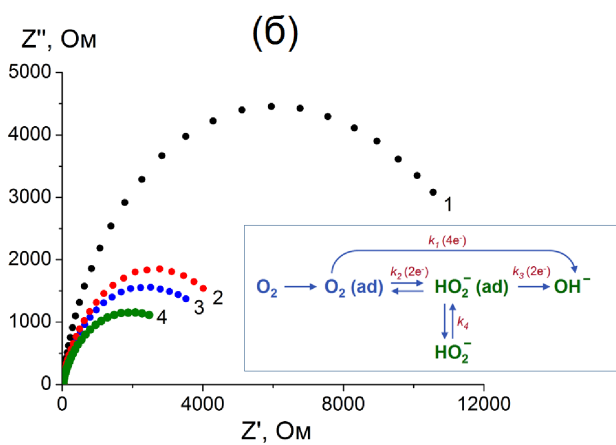
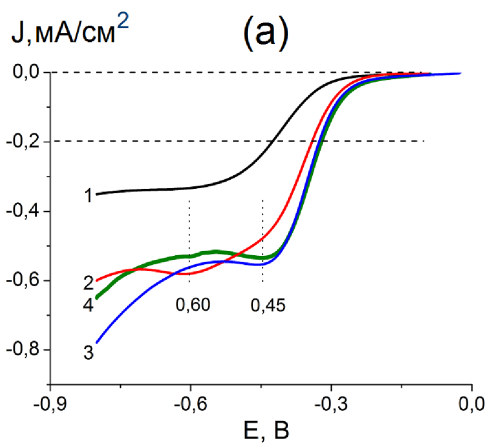
).

smk@isc-ras.ru

[1].

Fe(III)Cl-5,10,15,20-Fe-poph), Mn(III)Cl-5,10,15,20-(4- (Mn-poph), (Mn-poph

[2].



.1

1 (): (1) Fe-poph (2), Mn-poph (3), Mn-poph Fe-poph (4).

k_1, k_2, k_3, k_4 (. 1).

:

Fe-poph < Mn-poph < Mn-poph Fe-poph

2. Kim T-S., Kim J., Song H.C. et al // ACS Catal. 2020, 10, 10459-10467.
3. Kuzmin S.M., Chulovskaya S.A., Parfenyuk V.I. // Electrochim. Acta. 2020, 342, 136064.

1, 2, 3, 1,2, 1, 1,3, smk@isc-ras.ru

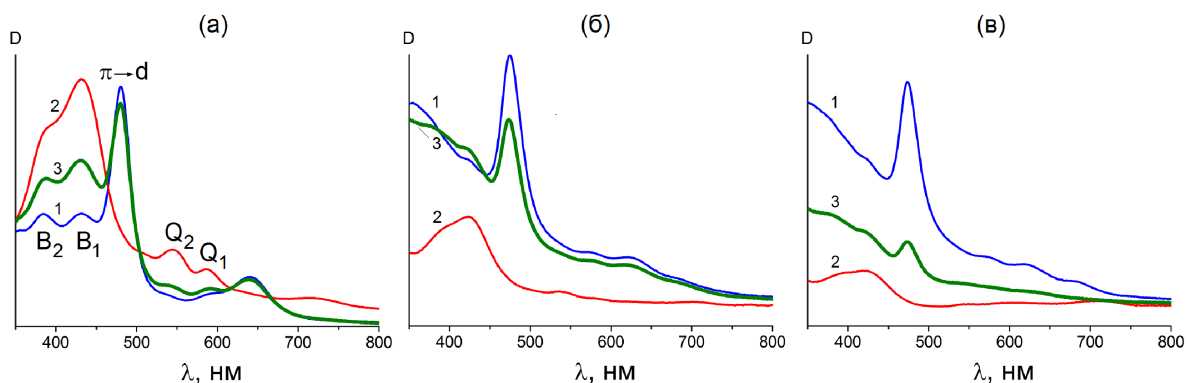
[1].

Mn(III)Cl-5,10,15,20- (4-) (Mn-poph)
 Fe(III)Cl-5,10,15,20- (4-) (Fe-poph), (Mn-poph Fe-poph)

[2,3]

(. 1)

Fe Mn.



. 1.

20 / () 100 / () Mn-poph (1), Fe-poph (2),
 Mn-poph Fe-poph (3).

I d/I_{B2}
 Mn- Fe-
 Mn-poph Fe-poph

4. Kim T-S., Kim J., Song H.C. et al // ACS Catal. 2020, 10, 10459-10467.
5. Kuzmin S.M., Chulovskaya S.A., Koifman O.I., Parfenyuk V.I. // Electrochemistry Communications. 2017, 83, 28–32.
6. Kuzmin S.M., Chulovskaya S.A., Parfenyuk V.I. // Electrochim. Acta. 2018, 292, 256- 267.

1
2 Sirius University of Science and Technology, 1 Olympic Ave, 354340, Sochi, Russia

o.levin@spbu.ru

NO_x
NO_x

NO_x

NO_x

[1],

NaNO₂),

NO_x (

1. Gerken, J.B., S.S. Stahl // ACS Cent Sci. 2015. V. 1. 5. P. 234.

« », « »
20-33-51007.

« ————— » « » »

organik072@gmail.com

()

— (u/Mo/Cu) -40 (u/M -40/Cu)

: ()

Cu/Mo/Cu Cu/ -40/Cu

10-20

(-40)

Cu/Mo/Cu

Cu/ -40/Cu,

800 °

.5.9 9.302-88;

85
20.57.406-81;

-65 ,

205-1

98%

40 ,

207-2

20.57.406-81.

20
()

« - » « » ,

shibaev_boris@mail.ru

20%;
20%);
0,5 ; 3,0 / ²;
: 207-2 20.57.406-81 98% 40 ,
.5.9

9.302-88.

10 19904-90, 12 18 10 5582-75,
1 859-2014, -59-1 931-90,
29 14080-78 48-19-472-93.
1, 3 6 , 1 / ².
3

50%
1 3 A/ ² (0,5 / ²).

±1 . 20%
c 9-12%, [1].

1. 158-5021

-, 1975. - .60.

1, 1,2, 1, 1, 1

rmanzhos@icp.ac.ru

B), / (), (N, P, S

« »
 ()
 [1].
 : 1 M Na₂SO₄ I 0.3 M Na₂SO₄ + 0.02 M CoSO₄ II.
 300
 ó
 I II
 (Co_xO_y/), I II II –
 Co_xO_y/ 77.9 20.5 .% 70.4 26.0 .%,
 C1 s -
 (Co_xO_y/). Co 2p
 Co (II) (III), EDX-
 40–45 .%.
 ()

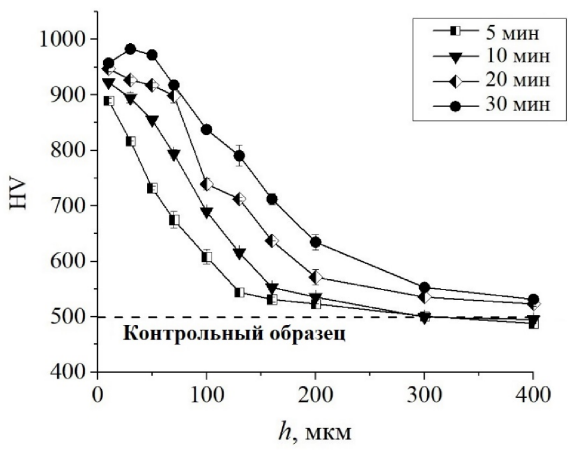
Co_xO_y/ 2.4–2.5 ~3.9 Co_xO_y/

1. Krivenko A.G., Manzhos R.A., Kotkin A.S., Kochergin V.K., Piven N.P., Manzhos A.P. // Instrument. Science Technol. 2019.

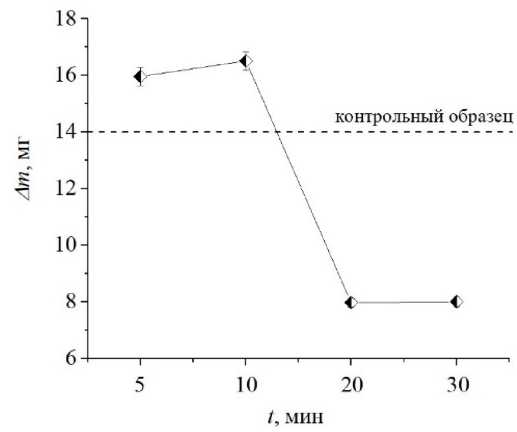
- 19-119061890019-5
 (.19-03-00310)

Naymov993@gmail.com

11 20 900° 10% 30±2° 5 30 20 (15) 10% 100 20 1,0 0,6 60 100 980 HV 900° 30 (1) 60 100 300 (2),



. 1.



. 2.

20

20

10

1

1,555 /

79-10094-)

(18-

1
2

olvp2808@rambler.ru

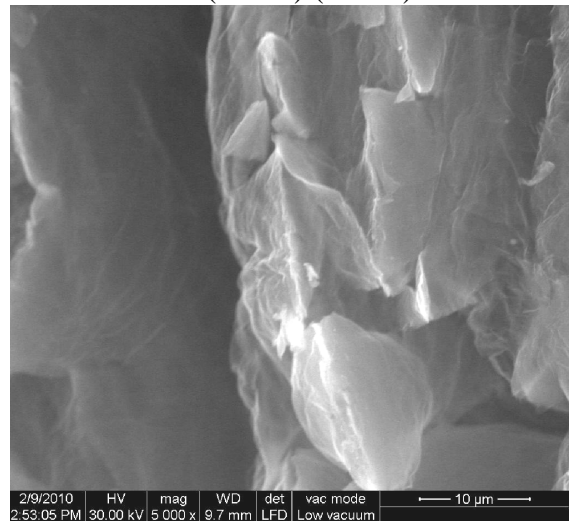
I + II

2,4...4,0 / ³,

50

50 ²/ ,

> -1,5



. 1.

(^ 5000)

(720 x /)

[1].

1. Serbinovsky M.Yu., Popova O.V., Shkurakova O.E. // Journal of Friction and Wear. 2019. . 40.

4. . 309.

airman-84@yandex.ru

$d = 7$ — $d = 2$,
6 -190 3,5 ,
[1], 10 20
6 -190, $1,19 \cdot 10^{-4}$ 3.
14 , 7%.

[1] : , 1979. 84 .

1
2

Mithanya0403@gmail.com

CuCrSe₂ Cu

CuCrSe₂ Cu

10⁻⁵ 1000

CuCrSe₂ « P-2X».

CuCrSe₂ 0.95. CuCr₂Se₄.

CuCrSe₂, 5 %.

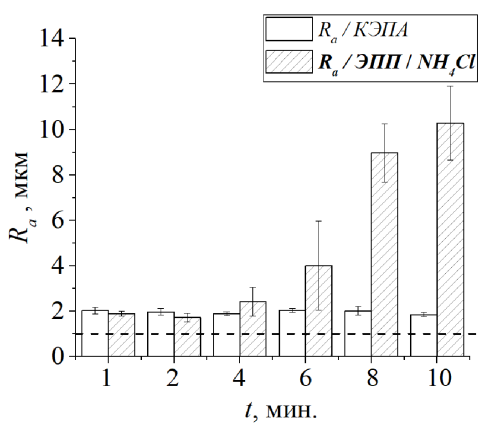
- 18-118020290104-2. . .

« »,

21-11/ »

ekaterina.sokova44@gmail.com

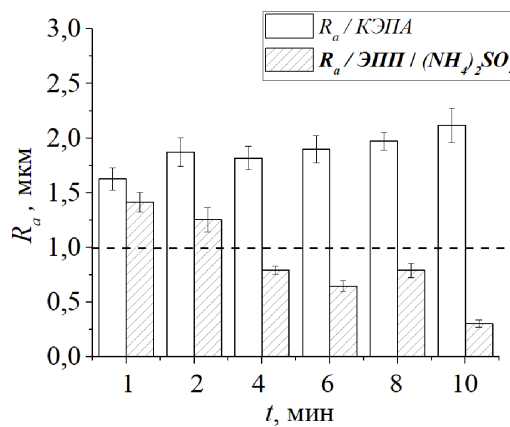
45
 ()
 11
 10 750°
 5% 5% 3%
 80 1 10 300 В 1,0 /
 45
 2 (R_a = 2,0±0,3)
 3%-
 (. 1)
 5%-
 (. 2).
 1 4 (1000
 HV)
 ()



. 1.

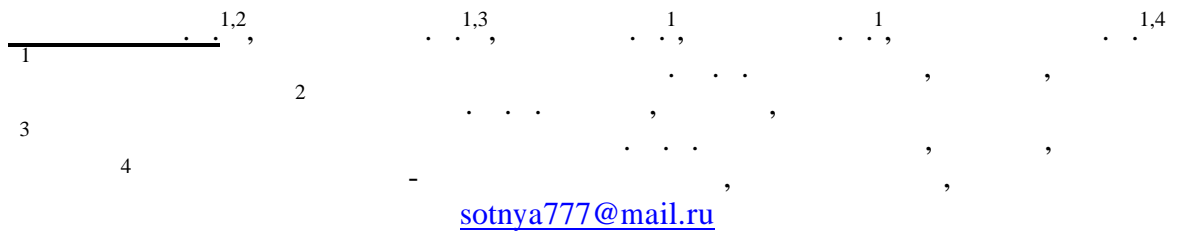
+

. 2.



3%-

5%-



()

Al(111) Al(100).
107,4 ± 0,5

()

NVision 40.

0,3 () 41
Al(111) 8°

~ 150 ()

<110> 91%, <112> - 88%
= 88%

Al(111)
Al(100)

~ 100

4°

~ 95%

Al(100) -

87%.

Al(100)

(19-73-10176).

1,2, 3,4, 2,4, 4, 1,4
 1 2 3 4

sotnya777@mail.ru

0,3 H₂C₂O₄ 40 0,3 H₂SO₄ 25
 04-
 $E_d = -1,0$
 $E_{imp} = -1,2$ 0,1
 NaOH 400 / 4 / 1,25
 (), Si/SiO_x
 20 Au/ 30 60
 [200], 60
 : 60-

30 700 100
 60 520 180
 1,7 5 K. 3 36 (T = 1,2).
 30- Au 300
 14 1,6·10⁶ / ².

18-73-10151
 19-02-00981, 18-29-11097

», « » ().

», ;

40° 50⁰ 60° , 15 / .

«LiPO» / «Lilon» [1].
0...+40° /-

20...+40° .
(.),

[2].
(4000)

/ (LiFeS₂) (LiMnO₂).

10 .
Supercam S350
40° .

;

);

(5 (2 () 10 , 5

(12); (0,5-0,7) (-

1. 5 . 5 .000000 .
- : « », 2014. - . 157.

2. . . //
Supercam S350. , 5 - : « », 2018. - . 128.

1
2

tazina@inbox.ru

()

3-4

1. - : "", 1975. – 568
2. : , 1965.
.302 -330

1, 2, 1, 1,2

2

mvt@isc-ras.ru

(),

[1-2].

[3].

()

[6].

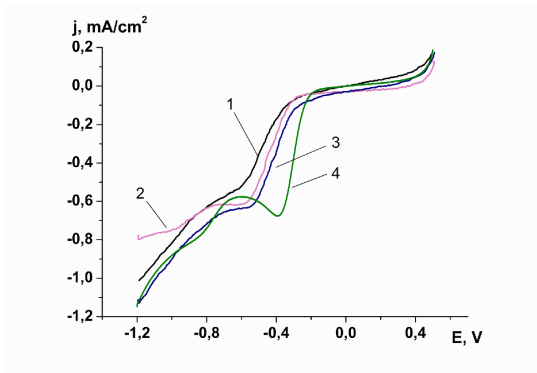
[4]

[5]

Fe- Mn- 5,10,15,20- (3-)

20 / .

(0.1 OH).

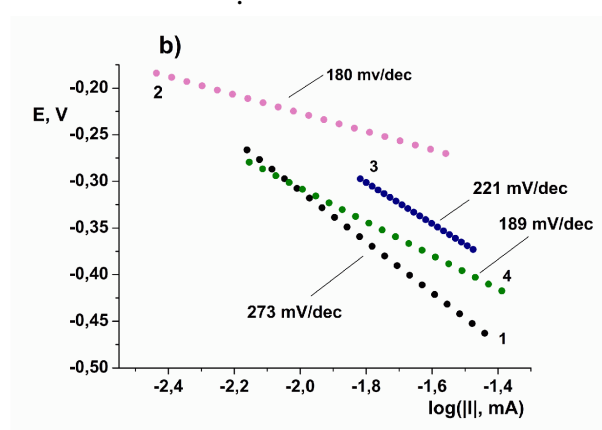
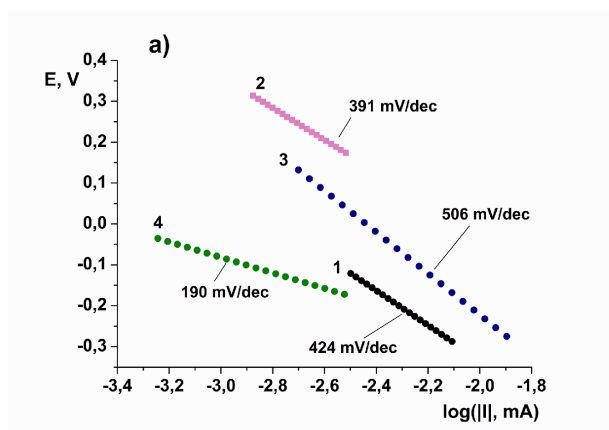


1. () Fe(III)CIT(3-NH₂Ph)P (2), Mn(III)CIT(3-NH₂Ph)P (3), Mn(III)CIT(3-NH₂Ph)P + Fe(III)CIT(3-NH₂Ph)P (4).

(. 1).

MnCIT(3-NH₂Ph)P < -FeCIT(3-NH₂Ph)P + MnCIT(3-NH₂Ph)P.

(. 2).



2.

(1) : Fe(III)CIT(3-NH₂Ph)P (2),
Mn(III)CIT(3-NH₂Ph)P (3), Mn(III)CIT(3-NH₂Ph)P + Fe(III)CIT(3-NH₂Ph)P (4)
0.1 OH () ()

1. Ding Ch.-H., Tang J.-J., Chen Sh., Liu Zh-Q., Li N. // Journal of Nanoscience and Nanotechnology, 2017. V. 17. N. 2. P. 1438-1442.
2. Tesakova M.V., Noskov A.V., Parfenyuk V.I., Bazanov M.I., Berezina N.M. // Russian Journal of Physical Chemistry A. 2012. V. 86. N. 1. P. 9-13.
3. [Zhu Y.](#), [Murali S.](#), [Cai W.](#), [Li X.](#), [Suk J.W.](#), [Potts J.R.](#), [Ruoff R.S.](#) // Adv. Mater. 2010. V. 22. P. 3906–3924.
4. Do M.N., Berezina N.M., Bazanov M.I., Gyseinov S.S., Berezina M.B., Koifman O.I. // J. Porphyrins Phthalocyanines. 2016. V. 20. P. 615–623.
5. Wang L., Zhang Z., Li M., Li Q., Wang B., Wang S., Zhou H., Mao B. // Chem. Cat. Chem. 2020. V. 12. P. 2469 – 2477.
6. Liu J.-H., Yang L.-M., Ganz E. // J. Mater. Chem. A. 2019. V.7. P. 11944-11952.

1
2

1 2 1,2

mvt@isc-ras.ru

5,10,15,20-

(4'-)

()

().

Fe-

Mn-

5,10,15,20-

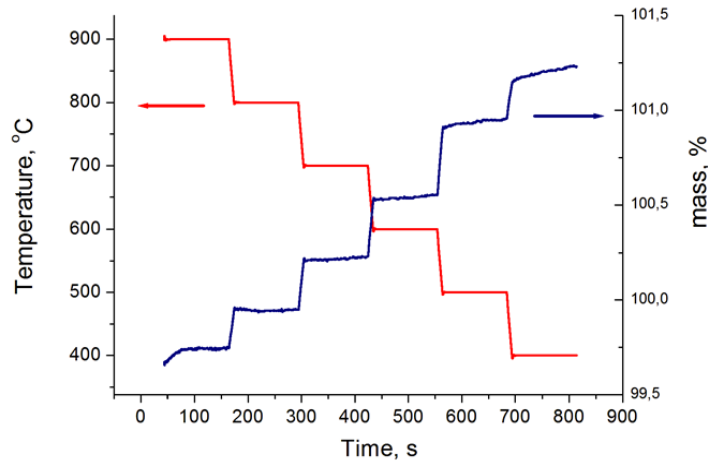
(3-

)

sgtitova@mail.ru

($Y_{0.2}Nd_{0.2}Eu_{0.2}Sm_{0.2}Ho_{0.2}Ba_2Cu_3O_y$ (R-123))

NETZSCH Jupiter STA 449 F3 (. 1).



. 1 -

R-123.

(1). -
Shimadzu XRD-7000 (Cu-Ka),

CFS-9T-CVTI,

1. -

R-123

| | Dm, % | , y | (b-a)/(b+a) | T, K |
|------|-------|-------|-------------|------|
| 400, | 0 | 6.95 | 0.00668 | 83 |
| 400, | 0.262 | 6.85 | 0.00659 | 74 |
| 500, | 0.388 | 6.678 | 0.00724 | 61 |
| 600, | 0.32 | 6.536 | 0.00598 | 47 |
| 700, | 0.27 | 6.416 | 0.00482 | 43 |

(b-a)/(b+a) R-123

y~ 6.7,
y~ 7.0.
Y-123 c
R-123

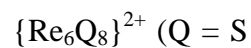
Y-123,

R-123

Y-123.

N-

ulananton@mail.ru



Se),

[1].

Re(III)

$\mu_3\text{-Q}$.

[2].

N-

[3].

Se)

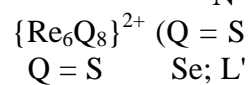
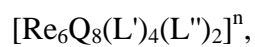
= 4,4'-

, 1,2-

(4-

)

, 4,4'-



Q = S

Se; L'

, 4-

, 4-

; L'' = Cl⁻, Br⁻

CN⁻.

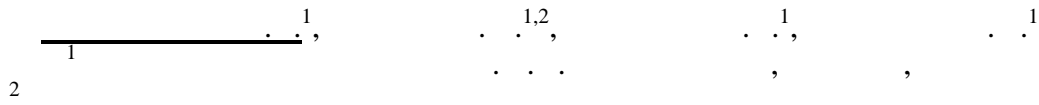
N-

1. Cordier S. et al. // J. Clust. Sci. 2015. . 26. . 1. . 53,

2. Pinkard A., Champsaur A. M., Roy X. // Acc. Chem. Res. 2018. T. 51. . 4. C. 919,

3. T. Yoshimura et al. // Inorg. Chem. 2011. T. 50. . 20. C. 9918.

20-33-70112.



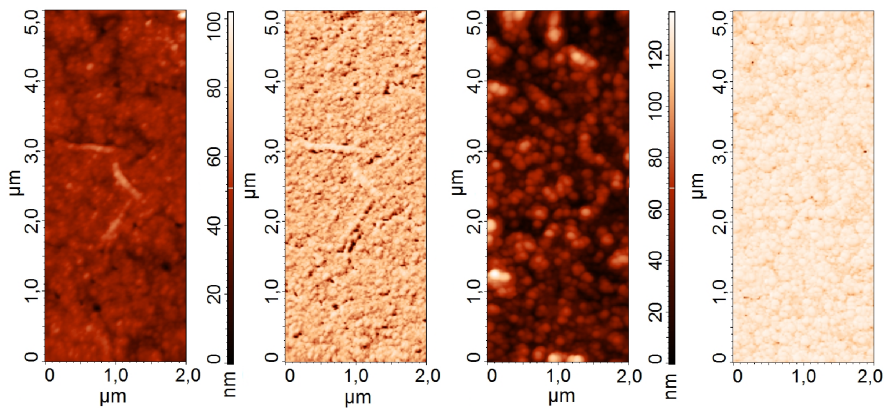
smk@isc-ras.ru

[1].

[2].

(ZnT(3-OHPh)P) Zn -5,10,15,20-(4- -5,10,15,20-(3-) (ZnT(4-OHPh)P).

(. 1).



. 1. - ZnT(4-OHPh)P () ITO. -ZnT(3-OHPh)P ()

OHPPh)P , -ZnT(3-OHPh)P -ZnT(4-

1. Savenije T.J., Koehorst R.B.M., Schaafsma T.J. // J. Phys. Chem. B. 1997. V. 101. P. 720.

2. //

. 2019. . 27. 4. . 12.

«

» (,).

dddyyyaq@gmail.com

IPC – pro,

()

(

Ni-Cr Co-Cr

()

Co-Cr

4

%.

()

4,8 .%

Ni-Cr

60 %.

10-15

ruslanfelix@yandex.ru

Sn-Co, Sn-Ni Sn-Zn.

SO_4^{2-} (M = Co, Ni, Zn),

$\text{Sn}^{2+}-\text{M}^{2+}-\text{C}_2\text{O}_4^{2-}-\text{NH}_3-\text{F}^--\text{Cl}^-$

NiSO₄·7H₂O 0 54 / , CoSO₄·7H₂O –
0 50 / , ZnSO₄·7H₂O – 0 120 / , SnSO₄ – 0 20 / , (NH₄)₂C₂O₄·H₂O – 0
120 / , NiCl₂·6H₂O – 0 50 / , CoCl₂·6H₂O – 0 55 / , ZnCl₂ – 0 70 / ,
SnCl₂·2H₂O – 0 45 / , NH₄F – 0 60 / , NH₄Cl – 0 200 / , NaCl – 0 5
/ , KCl – 0 210 / . 18 60° .

P-30J « ».

MPS-3005L-3 Matrix

08

Solver 47 Pro ().

Phenom Pro X

(EDS)

Tescan Vega 3 SBH

Sn-Co, Sn-Ni Sn-Zn

aynkavcev@yandex.ru

-76-

-7 -1000
-1

« ».

() [1].

3%

(.)

(,

,).

[2].

-76

1. , , , 2014. 301 . :

2. []: / . . [.]. - : - ,

2016. – 268 .

ksyusha-orlova-98@mail.ru

Zn-Ni,

[1].

Zn-Ni

[2].

80- 20-

(L15)

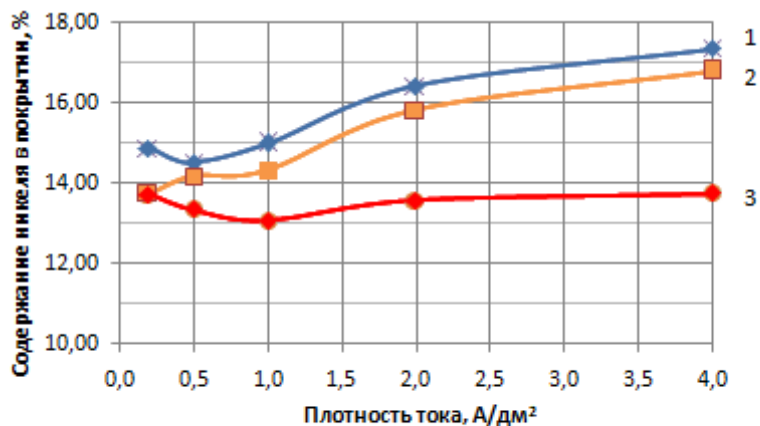


Рис. 1 Зависимость содержания никеля в покрытии от плотности тока при мольном отношении $Ni^{2+}/L15$ 0,1 и различных концентрациях ионов никеля в электролите (моль/л): 0,06 (1); 0,04 (2); 0,03 (3)

$Ni^{2+}/L15$

$Ni^{2+}/L15$,
0,1.

1,

14%).

(0,2-4 / ²).

1. S. Ghaziof, W. Gao // J. Alloys Compd. 2015. Vol. 622. P. 918.

2. A.M. Alfantazi, J. Page, U. Erb // J. Appl. Electrochem. 1996. Vol. 26. No 12. P. 1225.

ksyusha-orlova-98@mail.ru

Zn-Ni

[1].

[2].

(/): Zn^{2+} (ZnO) 0,1-0,2; NaOH 2-4; Ni^{2+} ($NiSO_4 \cdot 7H_2O$) 0,03-0,06; L10 (200) 0,075-0,225; L15 (300).
pH 13-14, 22-25 ,
0,2 / , 0,06 / , L10 0,075-0,15 / , L15 0,15-0,225
Zn-Ni с
12-15 %,

1,

0,2 5 / ²,

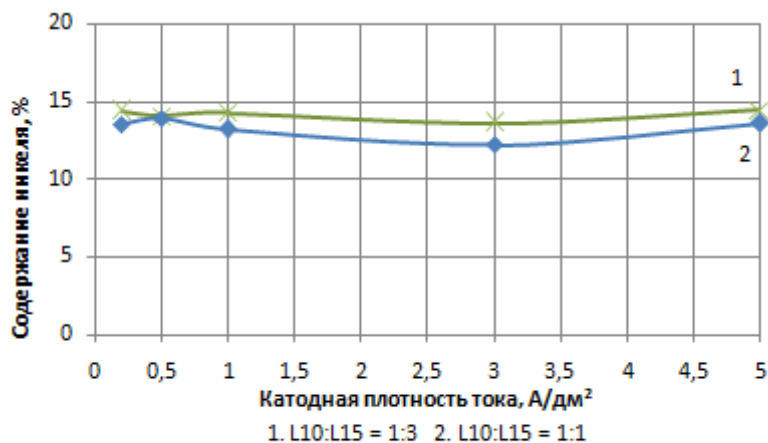


Рис. 1 Зависимость содержания никеля в покрытии от катодной плотности тока
1. L10:L15 = 1:3 2. L10:L15 = 1:1

Ni^{2+}/Zn^{2+} 0,3 $Ni^{2+}/(L10+L15)$ 0,2.

L10/L15 0,33 1.

L15

$Ni^{2+}/(L10+L15)$ 0,2,

, L15

Zn-Ni, с

3 – 5 / ²

70 – 96 %.

1. C.M. Praveen Kumar, T.V. Venkatesha, K. Vathsala, K.O. Nayana // J. Coat. Technol. Res. 2012. Vol. 9. No. 1. P. 71.
2. G. Sheela, M. Pushpavanam, S. Pushpavanam // Int. J. Hydrogen Energy. 2002. Vol. 27. No 6. P. 627.

N,N-

, shcherb@muctr.ru

N,N-

(DMP·TFB)

DMP·TFB

DMP·TFB

() [1].

DMP·TFB

()

()

k·

$$E = RT_2^2 \frac{k_3 - k_1}{k_2(T_3 - T_1)}$$

DMP·TFB

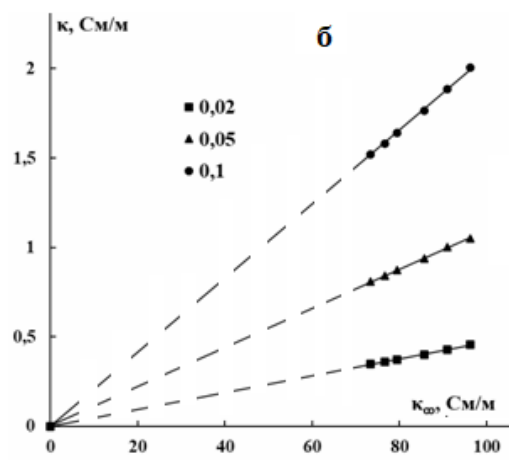
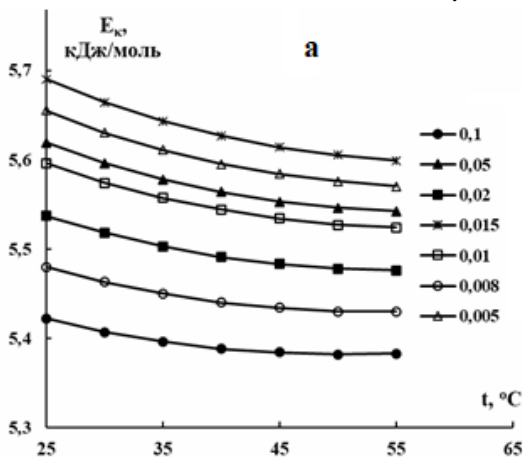
1, 2 3

1, 2 3 (R -

).

DMP·TFB

k



()

()

;

k DMP·TFB

()

(/)

DMP·TFB

()

(= s o / , s o - [2]).

DMP·TFB

= k = k s o / ,

k

1. Galimzyanov R. R., Stakhanova S. V., Krechetov I. S. at al. // Journal of Power Sources, 495 (2021) 229442.

2. // , 45 (2009) 986.

_____ , e-mail: abr-aleksey@yandex.ru

(VI)

Ni²⁺, Cr³⁺

KCr(SO₄)₂·12H₂O – 90 / , Ni(NO₃)₂·5H₂O – 16 / , CH₃COOH – 40 / , HNO₃ – 20 /

24-26 / .

5-10 /

0,5-1

12)

(pH=10-

(ASTM B117)

72 .

76 .

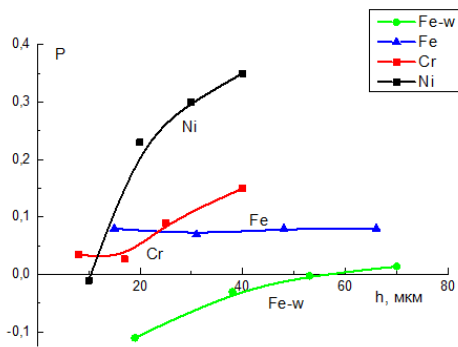
«

-2020-027»

()
dimedrolums@gmail.com

15 6

3



45

3- 15 6

Ni,

| | | | 45 | | |
|------|--------|---------|--------|---------|------|
| | | ng/Nm | | ng/Nm | |
| 800 | 0,0827 | 5168,75 | 0,0415 | 2593,75 | 0,72 |
| 1600 | 0,0040 | 250 | 0,0073 | 456,25 | 0,50 |
| 2400 | 0,0006 | 37,5 | 0,0030 | 187,5 | 0,45 |

5,10,15,20- (4-

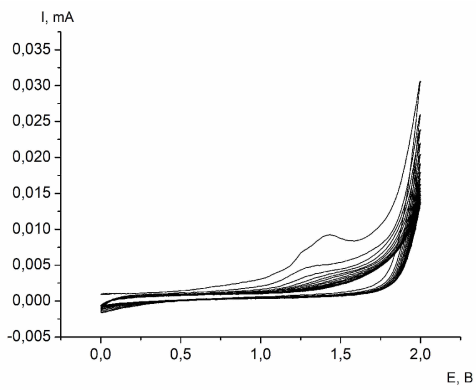


mvt@isc-ras.ru

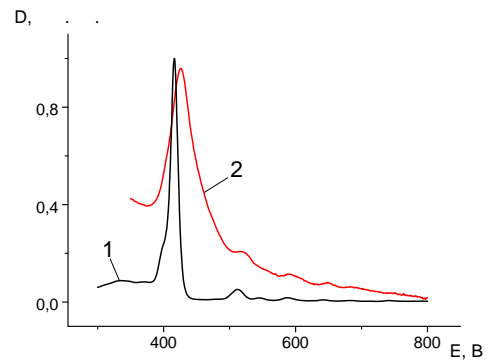
5,10,15,20- (4-) (H₂T(4-Py)P).

Red/Ox-

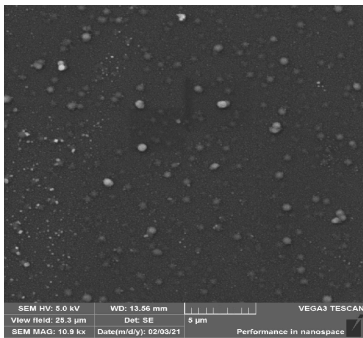
ITO-



. 1. H₂T(4-Py)P.



. 2. H₂T(4-Py)P, 2 — -H₂T(4-Py)P. : 1 — 0 +2



. 3. H₂T(4-Py)P.

Ag(I),

Ag-Zn

nesterovamarija18@gmail.com

()

Ag-Zn

[1].

Ag,Zn-

Ag(I).

Ag-Zn (N_{Zn} 30 %)

60-

0,01 M HNO₃ + 0,09 M KNO₃ (pH 2,16)

E ().

[1],

N_v ,

-

E

().

0,1 KOH (pH 12,89)

Ag(I)

E ()

= 470

$$F_0 = 1,64 \times 10^{14} / \times ^2$$

| E, | | E_{CP} , | $N_v \cdot 10^4$, % | $\cdot 10^{-5}$, ⁻¹ | W, | $N_D \cdot 10^{-14}$, ⁻³ |
|------|--------|------------|----------------------|---------------------------------|-----|--------------------------------------|
| 0,55 | Ag5Zn | 0,42 | 17,1 | 0,32 | 731 | 4,01 |
| | | 0,52 | 22,0 | 0,51 | 451 | 10,5 |
| | | 0,62 | 65,3 | 0,99 | 233 | 39,3 |
| 0,53 | Ag10Zn | 0,41 | 3,45 | 0,90 | 257 | 29,4 |
| | | 0,51 | 6,40 | 0,93 | 248 | 31,6 |
| | | 0,61 | 7,99 | 1,04 | 221 | 40,0 |
| 0,51 | Ag15Zn | 0,40 | 0,98 | 0,90 | 255 | 27,0 |
| | | 0,50 | 2,10 | 1,09 | 212 | 39,0 |
| | | 0,60 | 3,17 | 1,57 | 147 | 81,7 |
| 0,49 | Ag20Zn | 0,40 | 0,29 | 0,91 | 253 | 24,3 |
| | | 0,50 | 0,39 | 1,11 | 208 | 36,1 |
| | | 0,60 | 0,93 | 1,30 | 177 | 50,0 |
| 0,47 | Ag30Zn | 0,40 | 0,09 | 0,42 | 544 | 4,61 |
| | | 0,50 | 0,14 | 0,43 | 532 | 4,83 |
| | | 0,60 | 0,35 | 0,79 | 291 | 16,1 |

Ag(I),

Ag.Zn-

Ag(I).

[2],

Ag(I) ().

N_v

W

a

N_D

1.

2.

, 2014. 288 .

, 2016. 296 .

E-mail: egorovavika1999@mail.ru

Met Gala,

Swarovski

1. : / . . . , . . . , . . .
.- : . 2013. – 168 .
2. , . . . : . . . /- : - ,2005.-236 .

-34 -32

tanya.ersh@yandex.ru

Sn(II)

Sn(IV),

-34 -32.

-34 -32

6

-34

-32.

()

, Ra
0,83

- 1,1
- 0,57

-34

-32

: Ra
0,85

- 1,28

-34

-32 - 0,71

tanya.ersh@yandex.ru

Ni-P

(=8-9);
(= 4,5 -5,5);
« », Nichem 2505A, Nichem 2505B Nichem
2505 (= 4,7 - 5,0).
10.

9.302-88.

1,5

1,3

-3

(614 / ²) ®

: (572 / ²) ®
(1693,5 / ²).

(5

).

2

« »

nmiva@mail.ru

Me/C (Me = Cu, Ni)
()
in situ
+ Ni(OH)₂ +

CuO 400, 500 700

().

Cu/ , 1,0: 3,3; 1,0:2,6 1,0:2,0, 400, 500 700 ,

(I) (Cu₂O)

CuO Cu/C (700°C),

(Cu⁰),

NiO. 400 500 , Ni/C (700°C)

().
1,5

30 - - - Pt-

Cu/C(400°C) < Cu/C(900°C) < Cu/C(700°C).

Cu- 2-3,6 , 86%. - ,

Cu/C (700°C).

400 500 ,

NiO

Ni/C (700°C),

2,6 .

(),

77%.

«
»,
konarev.niopik@gmail.com

« - » [1].
() (: Co -(5,6-
)-Co - , C₆₂H₈₉CoN₁₃O₁₅P ·HCl) -
12.

[2].
« » () -
274 354 12
-17-20

CN- 12, C²⁺ Co³⁺ C³⁺ C²⁺ c
, , , , ,
12
:

Co³⁺ 2+ , 2+ 3+ -
« « ».
, , , , ,
12,
80,0- 90,0%.

1C. .// . . . 1998. .42. 5. .140.
2 . 2438667 . . . 2010149468/15; . 06.12.2010; . 10.01.2012,
. 1.

« », , , konarev.niopik@gmail.com

(5-15 %)).

15-20 % [1].

2- -4,8-
10-15 %

18 10

183,0°).

4-

4-

89,0-92,0%, 60,0-66,0%.
179,5-180,0° (. . . 178,0-

1,3- -4- -5-

13,5-14,5%
7,0-8,0 / 2

1,3 - -4- -5-

18 10

40,0-45,0°

80,0-83,0%, 60,0-64,5%, 9,6-9,8 . / .

2- -4-

(43

1

).

2- -4-

18 10

10-

15 / 2

94,0-95,0% 65-70 ° 2- - 4-
85,0-90,0%
80,0-82,0 %.

2- -4,8-

3

7.0-8.4,
18 10

97,5 - 98,5 % 65,0 - 72,2 %
50 - 70 ° .

- 10 - 15 / 2

10-15 80-

100 [1].

1.

. . //

. 2021. .57. 3. .171.

« », , , konarev.niopik@gmail.com

5- -4- (5-),

20-50° 10 . 5- -4-

(5-).

5- .

: 5- 5- , 8,2-9,2,

5-

0,16

40,7- 65,9 % 5- 77,4-83,0 %.

45-47° 5,0 / ² 5-

5- 41,2-59,0 % 12,7-18,7 %.

5- 78,9 % 37,6 % ,

62,3 %

90,0 - 92,0 %.

5- [1]. 5- 5-

-0,9 - -1,1 (. . .)

1. . . // . 2012. . 85. 10. . 1550.

1
2

« » , konarev.niopik@gmail.com

« - » ,

() ,

« « » ,

-

- 300 450 , 1-0

10-11 / ² , 44 - 45 °

811 91,4 92,2 % , 51,1

59,4 % .

80-100 ,

1,1 1,2 / ,

- 3,9 4,7 / .

2,45 6,54

() .

- 29,9 % ,

- 11 / ² , - 324 , 45 47 ° , -

1-0.

| | 25 %- | - | % | , % | , / | - |
|------|-------|---------|------|------|------|------|
| 2,45 | 7,8 | 0,00020 | 92,0 | 52,0 | 1,12 | 7,57 |
| 4,70 | 12,1 | 0,00030 | 91,3 | 52,4 | 1,12 | 7,38 |
| 5,80 | 16,3 | 0,00012 | 94,0 | 56,7 | 1,06 | 7,54 |
| 6,54 | 19,9 | 0,00012 | 92,7 | 54,1 | 1,09 | 7,69 |

2,45 , 6,54 25%-

7,8 19,9 .

811. 324

1,2, 1, 1,2, 3, 1
 2
 3EKOL s.r.o.,
vitkuzn1@mail.ru

Cr(III) –
 (VI),
 (> 10)

« »
 Cr(III)

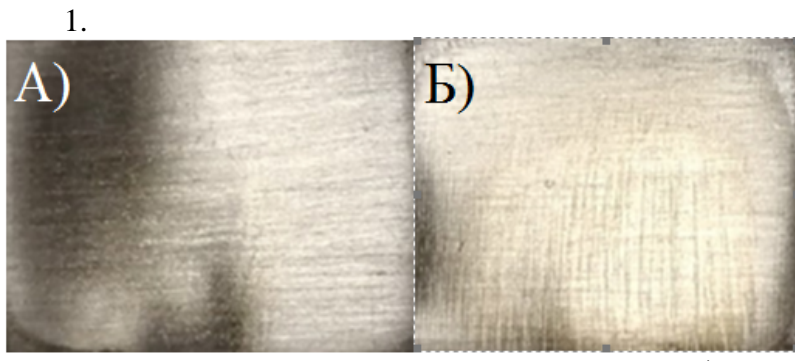
« »

(/): $\text{Cr}_2(\text{SO}_4)_3$ – 0.5, HCOONa – 1.4. 2.0±0.05

HCl.
 $\text{K}_2\text{Cr}_2\text{O}_7$

22±2 ° S = 10² 0.12 /²

180 40-60

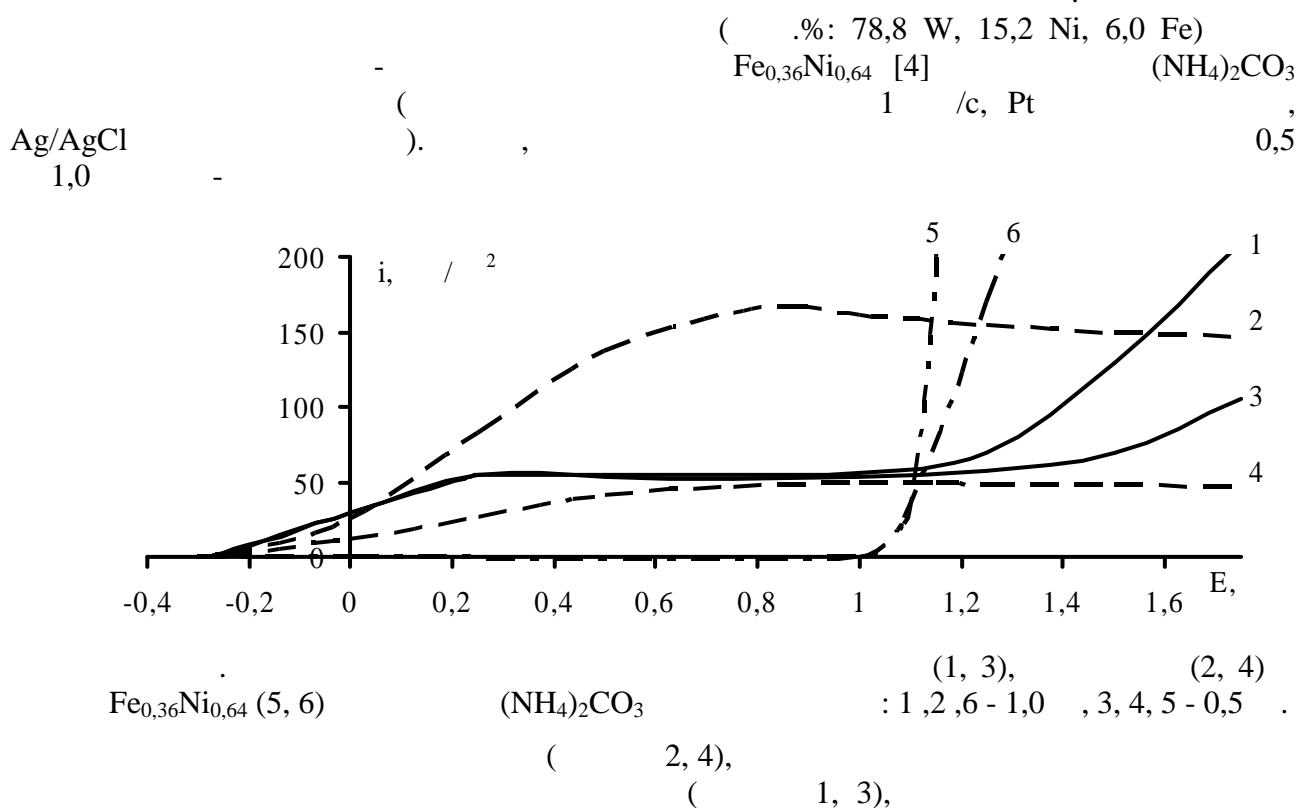


1. 60 40
 Cr^{+3} , Cr^{+2} 288 (×)/ ,

olyakolya@mail.ru - 49,

5].

[1-



1. Kovalenko V., Kotoc V.// Eastern-European Journal of Enterprise Technologies. 2020. 12. vol.108. P.61-66.
2. R.A. Latypov, E.V. Ageeva, G.R. Latypova// MATEC Web of Conferences.2019. 298(3):00125.
3. Kalyan Kamal S.S., Vimala J. // Materials Today Communications. 2017. vol.11. P.174-178.
4. Kuznetsova O.G., Levin A.M., Sevostyanov M.A.// Russian Metallurgy. 2021. 5. P.586-593.
5. Kuznetsova O.G., Levin A.M., Sevostyanov M.A.// Russian Metallurgy. 2019. 5. P.507-510.

075-00328-21-00.

humanth@mail.ru

[1].

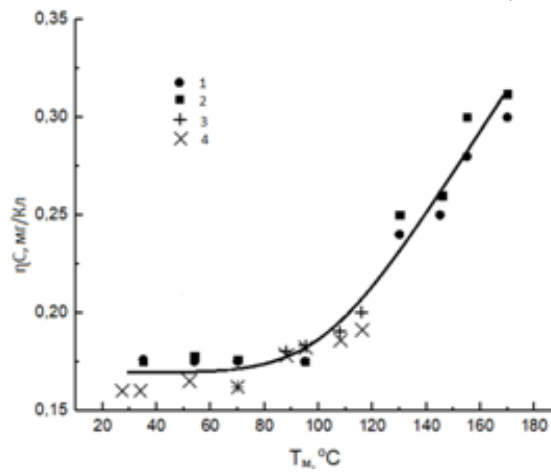
[2]

1.
100 / 2

2. s 2 (~0,18 /),

« » 50% 18 10 68%

3. 35 .
(dc – (1)).



1 -

18 10 (1,2) 35 (3,4) (1,3)
(2,4)

MoSe₂

AZ 1143, 113,
e-mail: yuska_80@mail.ru

[1–2].

MoSe₂,
(1,55)

d-d

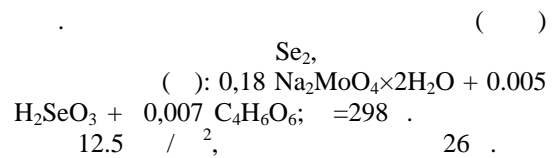
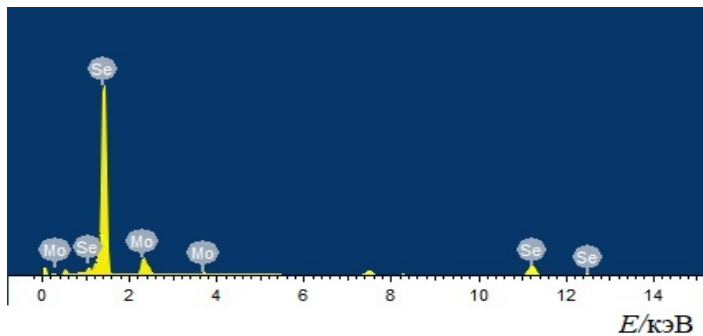
Mo.

MoSe₂.

MoSe₂,

Na₂MoO₄, H₂SeO₃

H₂SeO₃



Na₂MoO₄

MoSe₂

(.)

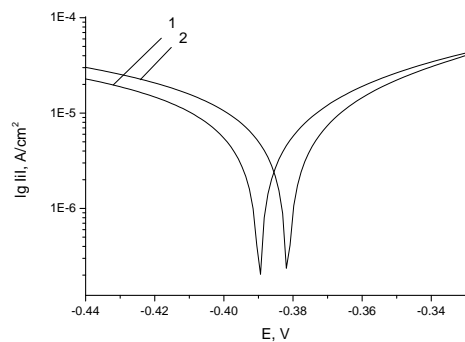
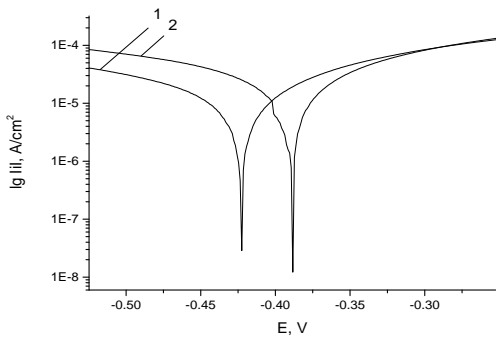
1. Xia Y.P., Wang B., Zhang J.Q., Feng Y., Li B., Ren X.B., Tian H., Xu J.P., Ho W.K., Xu H., Liu C., Jin C.H., Xie M.H. // 2D Mater. 2018, 5, 041005.
2. Jolie W., Murray C., Weiß P.S., Hall J., Portner F., Atodiresei N., Krasheninnikov A.V., Busse C., Komsa H.-P., Rosch A., Michely T. // Phys. Rev. X, 2019, 9, 011055.

F -W

1,2
1
2
vioricamirzac@mail.ru

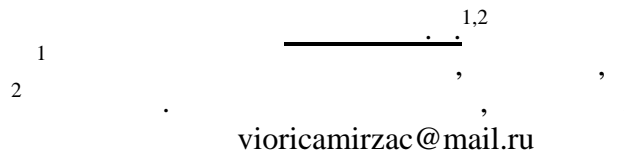
() Fe-W Fe-W (/),
(50 1) (/),
(0,5 ²). (/): FeSO₄ - 0,2;
- 0,17; - 0,33; - 0,4 6,9
/ ²; 80° , 20
+ HCl (80%) 30 / ² 60 . NiCl₂·6H₂O (240 /)
64 -28 30 .

MetrohmAutolab (NOVA 2.1.4.),
Ag/AgCl_{sat} -0,7 +0,7
1 / 10⁻³ N H₂SO₄ HCl
Rezistance ASTM G59 Standart. Polarization
. 1 ,



.1. H₂SO₄ (/) 10 () Fe-W 200 () 0,5 ²,
(1) (2)

Fe-W



Fe-W

Fe-W

80° , (/): FeSO₄ - 0,2; - 0,17; - 0,33; Na₂WO₄·2H₂O - 0,4, 6,9
 (0,1, 0,5, 1,25, 2,5²),
 NiCl₂·6H₂O (240 /) + HCl (80%) 30 /²
 60 .

64

-28

30 .

MetrohmAutolab (

NOVA 2.1.4.),

Ag/AgCl_{sat}

1 / 10⁻³ N

H₂SO₄

HCl

-0,7

+0,7

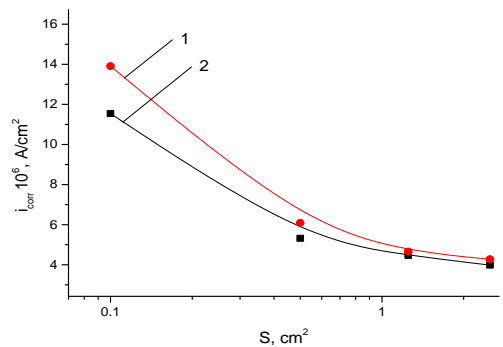
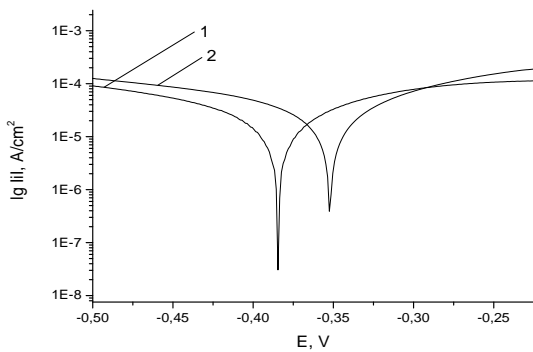
Rezistance

ASTMG59 Standart.

.1

Polarization

i_{corr} ,



.1.

.2.

H₂SO₄ Fe-W

(1)

0,1 2

(2)

(2)

_____ , , , e-mail: ngrigoryan@muctr.ru

(50-75°).

Ni^{2+} 0,06-0,5 / .

08 .

-7

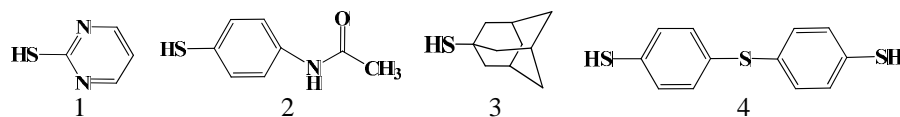
ZnO 9,94; H₃PO₄ 18,98; HNO₃ 7,93; Ni(NO₃)₂ · 6H₂O 0,30; FeCl₃ · 6H₂O 0,28. (/):
4,0 - 4,3; 34 -
40; pH 2. 70°C 12
5-10 / ² () 35-45 .

La³⁺ 0,06-0,15 / 70°
6-6,5 / ² 45-50 . 35°
20°
(t 20°)
La³⁺ 4,5-4,9 / ²,

-2020-028

osipova_vp@mail.ru

${}^n\text{Bu}_4\text{NClO}_4$, C=5, Ag/AgCl, $v=0.2$ (cm⁻¹) CH₃CN (0.1 M), O₂^{•-}, $\epsilon=347$, (pH 10.65)



| | | | | |
|--------|---------------|--------------|---------------|--------------|
| (), % | 29.56 ± 0.04 | 42.64 ± 0.02 | 22.14 ± 0.06 | 48.19 ± 0.02 |
| , % | -56.05 ± 0.03 | 23.35 ± 0.03 | -31.84 ± 0.31 | -46.5 ± 0.04 |

() O₂^{•-} 1-4
0.05 ÷ 0.20



(22.14 ÷ 48.19%),

4, HS-

2,

23%.

O₂^{•-},

1-4,

(20-13-00084).

e-mail: ang.popova@gmail.com, : 8(8772)523217

[1-5].

[6-8].

$a = 0$,

, - ,E -

{C ,E }

$C \in X$ и $E \in R_+^s$

[9].

GAUSSIAN.

IEF

DFT/B3LYP

ClO_4 IO_4

$[Li^+HalO_4^-]$
 $HalO_4^-$,

Li^+

[10].

$[MeOHR]^0$

1. //
2. // , 2006. -184 .
3. // ; , 2007. . 9. 3. . 240-245.
4. // ; , 2009. 2. . 41-46.
5. // . 2009. 1. . 32-35.
6. // . 2008. 2 (144). . 67-71.
7. // -2010. 2010. . 151-153.
8. // . 2010. . 12.
9. // -2015. 2015. . 119-120.
10. Popova A.A.// : Chenneling 2016 Books of Abstract. P. 39.

[1-3].

$$\frac{\partial C(g,t)}{\partial t} = S(C, g, t) = F[C] = \frac{1}{2} \int_0^g K(g-n, n) C(g-n, t) C(n, t) dn - C(g, t) \int_0^\infty K(g, n) C(n, t) dn$$

[4-8]:

$$F[C] = F[C]_c + F[C]_d + F[C]_e ,$$

$F[C]_c$ – оператор изменения концентрации в результате коагуляции, $F[C]_d$ $F[C]_e$

$F[C]$

g

g g

n .

[9].

$F[C]$,

$$\frac{\partial C(g,t)}{\partial t} = S(C, g, t) = F[C] = \frac{1}{2} \int_0^g K(g-n, n) C(g-n, t) C(n, t) dn - C(g, t) \int_0^\infty K(g, n) C(n, t) dn + C(n, t) \left[\int_0^\infty \int_0^\infty K(g, n) D_{gn} dndT + \int_0^\infty \int_0^\infty K(g, n) \varphi(x) dx dn \right]$$

1. //
2. // . 2018. . 2. . 39-46.
3. // . VII . 2016. . 166.
4. // . VII « . 2018. . 101-102.
5. // XXXVI XXXII . 2019. . 270.
6. // XXXV . 2018. . 176-178.
7. // , 2017. . 200-202.
8. // RU 2687416 C1, 13.05.2019.
9. // . XXXVII . 2018. . 15-16. . 2019. . 302-304.

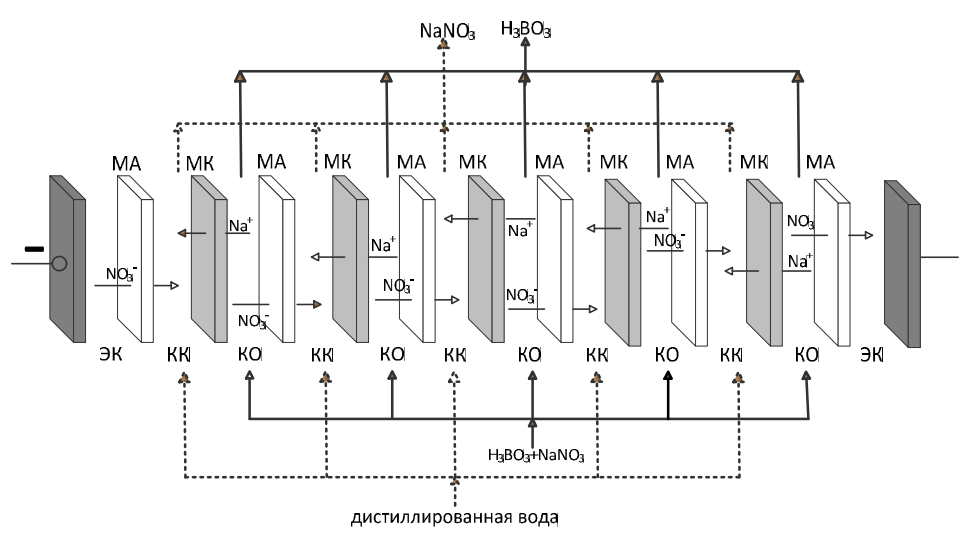
«
romanyuknazar@mail.ru
»

[1]. [2].

()

[3]. 0,75 3 3 0,15 NaNO₃

(2, 3, 4, 6).
(.).



=0,97, 96 %

1. // . 2011. .6. 4. . 118-125.
2. // . 1999. 2. . 71-77.
3. Al-Amshawee S., Yunus M.Y. B. M., Azoddein A. A. M. [et al.] // J. Chem. Engin. 2020. Vol. 380. 122231.

romanyuknazar@mail.ru

[1].

(. .).

[2].

[3].

I - 150 / H_2SO_4 , 60 / Fe^{2+} ;
II - 150 / H_2SO_4 , 20 / Cu^{2+} ;
III - 150 / H_2SO_4 , 60 / Fe^{2+} , 20 / Cu^{2+} .

3,5 .

150 / H_2SO_4 ,

I.

Fe^{2+}

II,

150 /

20 /

=78,5 %.

Fe^{2+}

Cu^{2+} , (III).

45,3 %.

(III),

«

»,

- -20.1/15.

1. Jansone-Popova S., Moinel A., Schott J.A. [et al.] // Environ. Sci. Technol. 2019. Vol. 53. P. 878-883.
2. Briff J., Sinagra E., Blundell R. // Heliyon. 2020. Vol. 6 (8). e04691.
3. Yin X., Shao P., Ding L. [et al.] // Environ. Sci.-Nano. 2019. Vol. 6. P. 3307-3315.

T

Re-Cu-Se

e-mail: elza_salahova@mail.ru

Re-Se-Cu

Pt, Cu, Ni
75°

2.0 2
30 60

IVIUMSTAT.

-5 CuK -

NETZSCH STA 449F3A-0835-M

20-900

10 /

900 o C

2 30 /

900oC.

95-100,

250-280

300-400

e-mail: elza_salahova@mail.ru

CdSe, CdS, CdTe, PbS, ReSe, ZnS, ReTe, ReS

Re-Mo

0.07 ².

4 ²

75° ,

30 60

IVIUMSTAT.

t

Re-

75-80° ,

Re-

10

410° .

" _____) , e-mail: abr-aleksey@yandex.ru

2,0-3,0, 18-30° , 1-6 / La(NO₃)₃·6H₂O, 0,5-2 / KMnO₄, 2

La₂O₃, MnO₂, MgO Mg(OH)₂.

170 (500-

1000)

ISO 4536)

(SD test
SD test

()

La,Mn-

30

20

0,5

(ASTM B117)

2-1

2

240

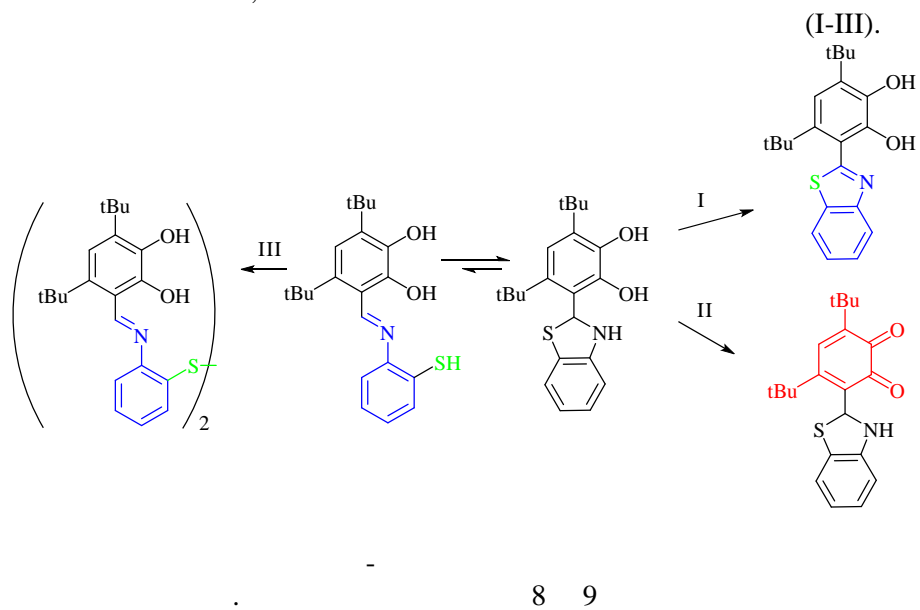
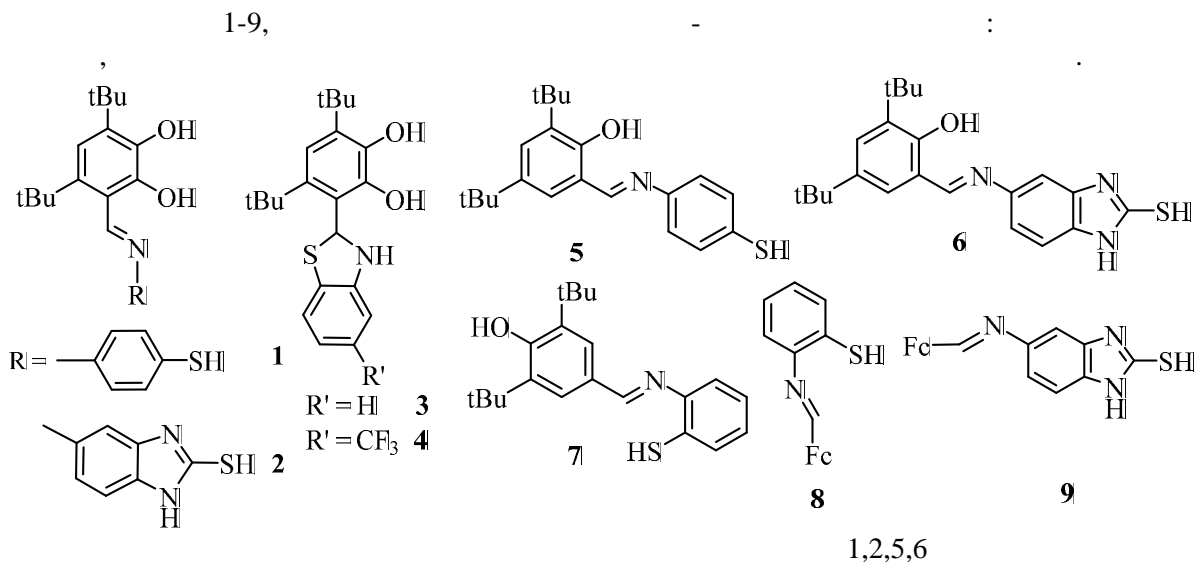
13,15

(%)

240

: 13,65

18,1 20,8%



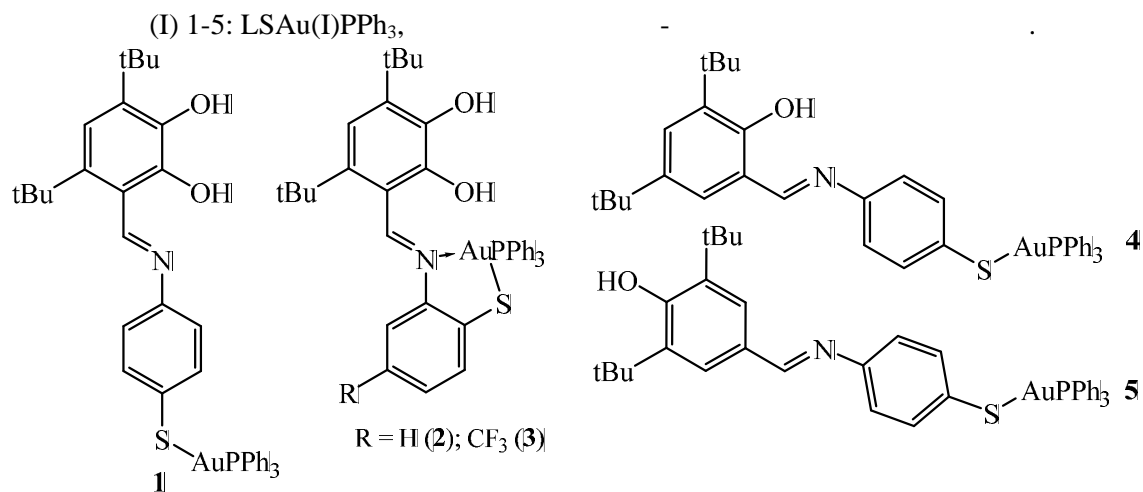
2-

(19-29-08003)

Au(I)

1

« _____ 1, . . . 1, . . . 1, » , ,
thiophen@mail.ru

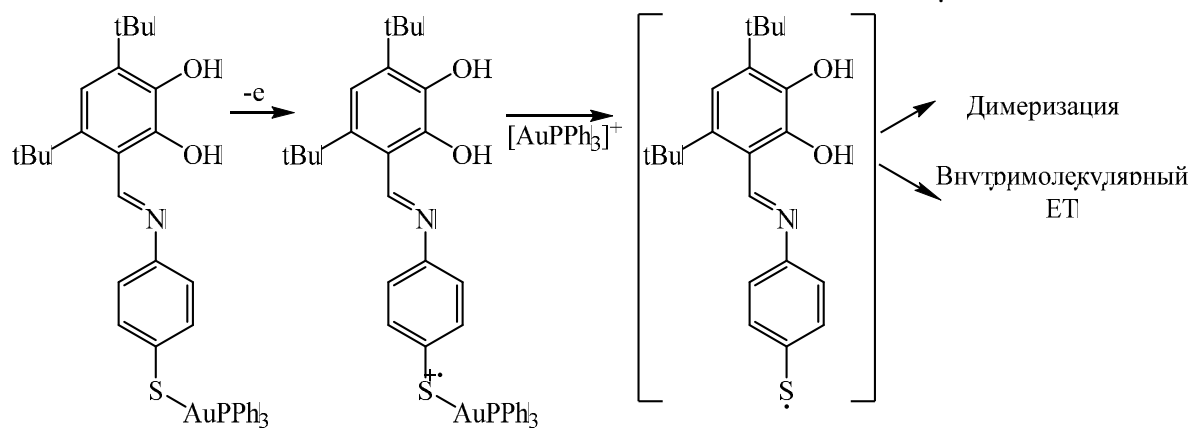


Au(I)

1-5

0.77 – 0.96

$[\text{AuPPh}_3]^+$



1.00 – 1.18

1.60 – 1.67

(19-29-08003)

lady.cristin4ik@yandex.ru

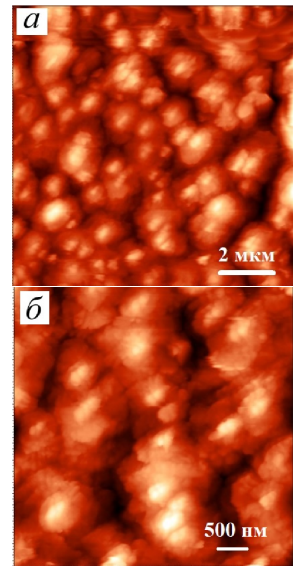
[1], $j_a = 0.10-0.20$
 A/c^2 ()
 Nb_2O_5 - , ,
 (0.6 , 2)
 ~18-30 , .
 Nb_2O_5

1 $H_2SO_4 + 1\% HF$.
 () Nb $S = 800$ $2/$.
 U_a (U_a) (t).
 U_a [1]). [1,2].

()
 () .
 (« » ,).
 U_a , $j(t)$

$U_a = 60$; , 1 ,
 $d_0 = 1.1-1.9$ $h = 0.6-1.2$.
 80-130 .
 (.1)

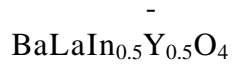
($d_0 = 1.1-1.7$, $h = 0.6-1.4$)
 . 70 ($t = 1$)
 : d_0
 0.7 1.4 , $h = 0.6-1.8$.



1. -
 Nb, $U = 60$ $H_2SO_4 +$
 1% HF (,)
 2 (,)

1.

 2020. T. 22. 1. P. 124.
 2.
 . 2015. . 147. 2. . 81.



1,2
1
2

Natalia.Tarasova@urfu.ru

(500 – 700 °C),

10 – 15 %

ABO_3 .

AA BO_4

BaLaInO_4

[Ba, LaO]

[Ba_{3/4}La_{1/4}InO₃]

(0.62

),

[Ba, LaO].

Ba/La 9 12.

~ 1.5

()

Y^{3+} In^{3+}

BaLaInO_4 ,

(21-73-10009)

... , 125047, , 9, :
8-905-519-74-77, membr_electr@mail.ru.

: , , .
, , , - .
:
, , -
, .
, - , -
. , -
, .
, .
, .
, .
Cr(VI) , .
. - -
, -
. , -
CN⁻ , SO₄²⁻ PO₄³⁻.
(,) (,), ()
(,) .
, .
, .
, .
Cl⁻, NO₃⁻, Fe³⁺, Cr(VI), S₂O₈²⁻ .
- -
, - .

Pt/Mo₂C

1, 2, 3, 4
1 " " , , ,
2 3
4

caska8lover@yandex.ru

[1], , Mo₂C [2].
Pt/Mo₂C

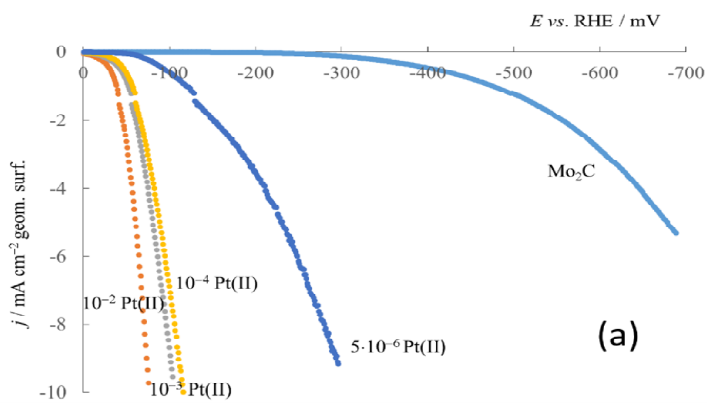
Mo₂C

(II)

Mo₂C/GC-



Pt(Mo₂C)/GC- (. 1),



(a)

0,5 M

H₂SO₄.

v = 1 V s⁻¹.

Pt(Mo₂C)/GC-

, Pt(Mo₂C)/GC-

0.5 H₂SO₄.

1. Michalsky R., Zhang Y.-J., Peterson A.A. Trends in the Hydrogen Evolution Activity of Metal Carbide Catalysts // ACS Catal. 2014. V. 4(5). P. 1274–1278.
2. Gao Q., Zhang W., Shi Zh., Yang L., Tang Y., Structural Design and Electronic Modulation of Transition-Metal-Carbide Electrocatalysts toward Efficient Hydrogen Evolution // Adv. Mater. 2019. V. 31(2). P. 3010-3013.

Sr-Ho-Fe-O

yanachv@mail.ru

3d-

Sr-Ho-Fe-O.

«CelRef 4.0»,
«FullProf 2008».

25° .

1100°

0.9 x 1.0),

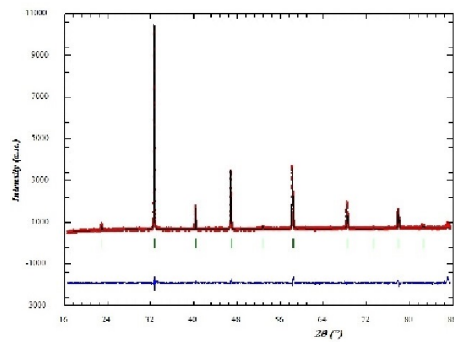
Sr-Ho-Fe-O

$\text{Sr}_{1-x}\text{Ho}_x\text{FeO}_{3-z}$.
 $\text{Sr}_{1-x}\text{Ho}_x\text{FeO}_{3-z}$ (0.1 x 0.2

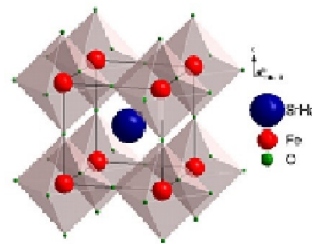
1

(b) $\text{Sr}_{0.8}\text{Ho}_{0.2}\text{FeO}_{3-z}$,

(a)



a)



b)

1 -

(b) $\text{Sr}_{0.8}\text{Ho}_{0.2}\text{FeO}_{3-z}$.

(a),

24

Sr-Ho-Fe-O.

1.

« alexchukanov@yandex.ru ».

$$[1-3] \quad \begin{pmatrix} \sigma_{xx} \\ \sigma_{xy} \end{pmatrix} = \begin{pmatrix} \dots \\ \dots \end{pmatrix}$$

[4].

[2].

$$\sigma_{xx}n_x + \sigma_{xy}n_y = 0; \quad \sigma_{yx}n_x + \sigma_{yy}n_y = 0,$$

n_x, n_y -

$$v_x n_x + v_y n_y = 0.$$

[1,2]. σ_{xx}, σ_{xy} :

$$\sigma_{xx} = 1 + \frac{a^2(y^2 - x^2)}{(x^2 + y^2)^2}; \quad \sigma_{xy} = \frac{-2a^2xy}{(x^2 + y^2)^2}.$$

$$d_{yx}/dx + d_{yy}/dy = 0$$

$$\sigma_{yy} = f(x) + \frac{a^2(x^2 - y^2)}{(x^2 + y^2)^2}.$$

σ_{xx}, σ_{xy}

$$(x_{xx} + y_{yy} = 0)$$

0; $x_{yx} + y_{yy} = 0$).

[1].

$$\varphi = x \left[1 + \frac{a^2}{x^2 + y^2} \right]; \quad \psi = y \left[1 - \frac{a^2}{x^2 + y^2} \right].$$

σ_{xx}, σ_{xy}

$$(x^2 + y^2)$$

- $a^2 \ll a^2$).

[2]

$$S_x = \sigma_{xx}, \quad S_y = \sigma_{xy}.$$

$$\operatorname{div} S = 0 \quad \operatorname{rot} S = 0$$

S.

$$S (\operatorname{div} S = 0).$$

[1,2]

$$\sigma_{xx} = 1 + \frac{By}{x^2 + y^2} + C \frac{y^2 - x^2}{(x^2 + y^2)^2}.$$

σ_{xy} :

$$\sigma_{xy} = \frac{-Bx}{x^2 + y^2} - \frac{2Cxy}{(x^2 + y^2)^2}.$$

$$d_{yx}/dx + d_{yy}/dy = 0$$

$$\sigma_{yy} = \frac{-By}{x^2 + y^2} + C \frac{x^2 - y^2}{(x^2 + y^2)^2} + f(x).$$

$$\sigma_{xx} = 1 + \frac{ay}{a^2 + x^2} + a^2 \frac{y^2 - x^2}{(x^2 + y^2)^2};$$

$$\sigma_{xy} = \frac{-ax}{a^2 + x^2} - \frac{2a^2xy}{(x^2 + y^2)^2}; \quad \sigma_{yy} = -\frac{2ax}{a^2 + x^2} + \frac{ay}{x^2 + y^2} + a^2 \frac{x^2 - y^2}{(x^2 + y^2)^2}.$$

ik.

1. // - 2020. - 21. - 4 (76). - 376 - 389.

2. // « »: (18.09.2020.); : 2020. - 241-244.

3. // « »: XVIII - 23-26.09.20.-, 2020.-

459-463.

4. // - 2020. - 18. - 3.- 130-136.

2.

«
alexchukanov@yandex.ru»

[1] ()

[2]

. C (z). S, S_z =
zz S = z . S , , S.

S(z,), S_z = 0, S = 0.
σ_{zz} = 1 + $\frac{a^3}{2} \frac{\rho^2 - 2z^2}{(z^2 + \rho^2)^{\frac{5}{2}}}$; σ_{zρ} = $-\frac{3a^3}{2} \frac{z\rho}{(z^2 + \rho^2)^{\frac{5}{2}}}$; σ_{zρ} = $-\frac{3Dz\rho}{(z^2 + \rho^2)^{\frac{5}{2}}}$.

ρσ_{ρρ} = ∫ ∫ 3Dρ² $\frac{\rho^2 - 4z^2}{(z^2 + \rho^2)^{\frac{7}{2}}}$ dρ + f(z)
z (z < a/2)

σ_{ρρ} = $\frac{3a}{4\rho} \left[1 - \frac{a^2}{\rho^2} \right] + \frac{45 a^3 z^2}{16 \rho^5}$ σ_{ρρ} = $\frac{1,44a}{\rho} - \frac{2a^3 \rho^2}{(\rho^2 + z^2)^{\frac{5}{2}}} - \frac{a^3 \rho^4}{2z^2(\rho^2 + z^2)^{\frac{5}{2}}}$
z > a/2 - (σ_{zz} = 1, σ_{zρ} = -zσ_{zz} = 3/4)

[3]. i ik

σ_i = $\frac{1}{\sqrt{2}} \left[(\sigma_{zz} - \sigma_{\rho\rho})^2 + \sigma_{\rho\rho}^2 + \sigma_{zz}^2 + 6\sigma_{z\rho}^2 \right]^{\frac{1}{2}}$

1,5. ()

I II
I II
zz z (z).

1. // - 2020. - 21. - 4 (76). - 376 - 389.
2. // « (-2021)», . . . (13-16.04.2021; -) : . 113-114.
3. // « , . XIX , (18-22.05.2021 .) - : . 395-399.

1,2-

« »
elenshin@rambler.ru

[1].

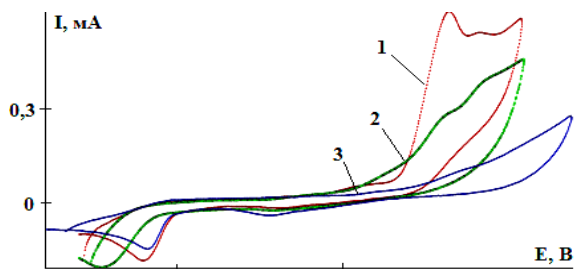
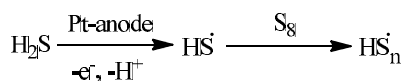
[2].

C₅-C₈ S- H₂S
H₂Cl₂ -

1,2-

H₂S

[3].
S₈,



H₂S

H₂Cl₂

1,2-

90

(1,7)

/ = 1:5 (.).

1,2-

(12,9%),

(22,7%).

(37,5%).

: 1 - 1,2- ; 2 -
1,2- S₂ (90
3CN, Pt- (70 °C),
Ag/AgCl . 1, n-Bu₄NCIO₄)

()
P SS

1,2-

(
(83,2%)

() (92,0%),

() (80%).

1. Fron-tana-Urbe B. A., Little R. D., Ibanez J. G., Palma A., Vasquez-Medrano R. // Green Chem. 2010. V. 12. I. 12. P. 2099.

2. Moiseev I. // Russ. Chem. Rev. 2013. V. 82. N. 7. P. 616.

3. // 2018. 1. . 108.

(18-29-24001)

1 «  »
 2 « elenshin@rambler.ru »
 [1].

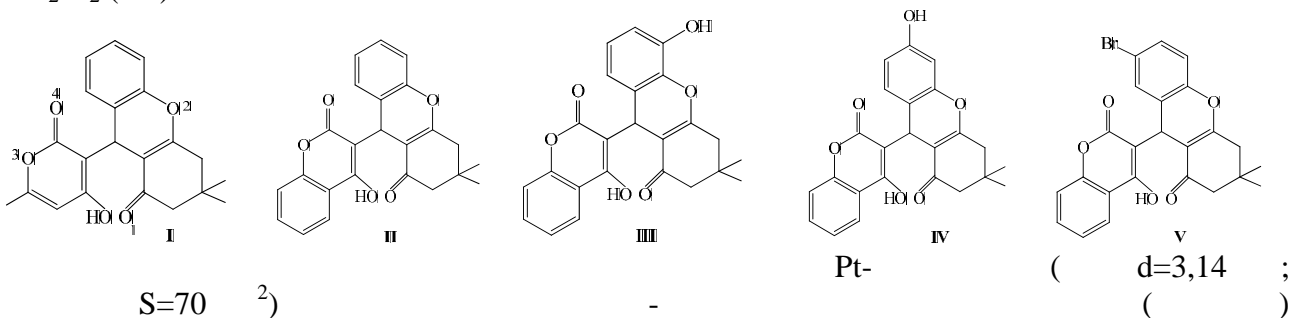
[2].

« - ».

I-V 2H-1- -2-

H₃CN:

H₂ I₂ (1:1):



Red-Ox (0 ÷ (-2,0)).

I-V -

I =f(v^{1/2}); E =f(v^{1/2}); I =f(C),
 0,97 ÷ 0,99 I-V,

(I) I-V (II)

III-V

7 (V)

1. Medina F. G., Marrero J. G., Macías-Alonso M., González M. C., Córdova-Guerrero I., García A. G. and Osegueda-Roblesa S. // J. Natural Product Reports. 2015. V. 32 P. 1472.

2. Annunziata F., Pinna C., Dallavalle S., Tamborini L., Pinto A. // Int. J. of Research in Pharmac. Sciences. 2020. V. 21. N 13. P. 4618.

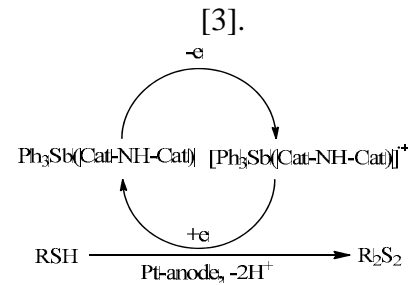
(20-03-00446)

elenshin@rambler.ru

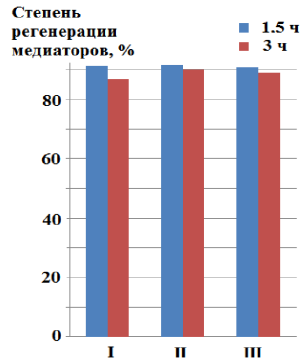
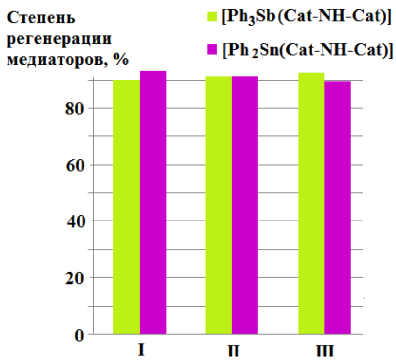
[1].

(III) (II) O,O- S,S-
Sb(V), Sn(IV) N,N-⁵⁻ 8 H₂Cl₂ H₂S 25° [2].
-(2- - -3,5-

[Ph₂Sn(Cat-N-SQ)] [Ph₃Sb(Cat-NH-Cat)]
I, II, 4-
III (. 1).



Pt-
CH₂Cl₂/0.2M (n-Bu₄)NClO₄
(. 2).



. 1 -

. 2 -

(1,5)

I-III.

(3)

(3-5%).

Cat)] [Ph₃Sb(Cat-NH-
I-III (1,5) I-III

[Ph₂Sn(Cat-N-SQ)] [Ph₃Sb(Cat-NH-Cat)]

1. , 2016. 440 с.

2. . 2017. . 43. 7. . 1-5. . . //

3. 2021. . 47. 5. . 300-306. . . //

19-29-08003

S-

«

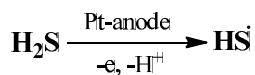
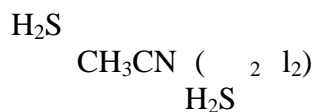
elenshin@rambler.ru

»

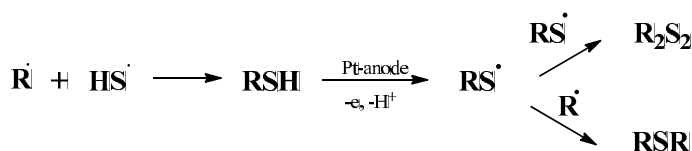
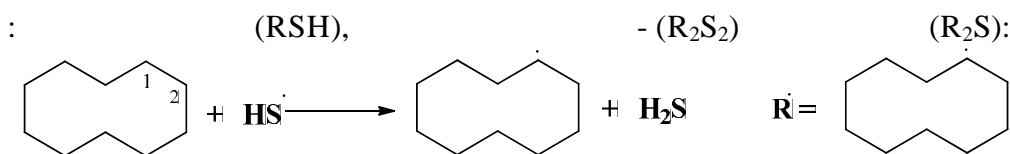
« »

[1].

(1,7)
(>2,4)



H_2S
()



/ = 1:2 (=1,9 ;

H₃CN, Pt- , Ag/AgCl)

| | , % | | | |
|-----|-------------|---------------------------------------|--------------------------|-----------|
| | RSH (1,76) | R ₂ S ₂ (1,62) | R ₂ S (1,97) | |
| 90 | 5,9/3,4 | 4,3/3,6 | 5,9/5,5 | 16,1/12,5 |
| 180 | 4,6/3,6 | 5,1/4,3 | 7,2/6,2 | 16,9/14,1 |

: n-

Bu₄NClO₄/NaBF₄

RSH

C

(H₂S_n, n=2÷8),

1. Yan M., Kawamata Y., Baran P.S. // Chem. Rev. 2017. V. 117. N. 21. P. 13230.

(20-13-00084)

shcherb@muctr.ru

()

max,

3 max.

$$V = \frac{10^{-3}}{nN_A c} \quad (3),$$

$$d = \sqrt[3]{\frac{10^{-3}}{nN_A c}} = \frac{11,84 \times 10^{-10}}{\sqrt[3]{nc}}.$$

$$c = \frac{d^3}{d^3 \sqrt[3]{nN_A}} = \frac{1,66 \times 10^3}{d^3 \sqrt[3]{n}}, \quad / (d$$

Å).

I-I (n = 2)

max,

max

| | max, / | | max, / |
|--|--------|--|--------|
| | 4,94 | | 1,25 |
| | 2,20 | | 1,19 |
| | 1,70 | | 1,15 |
| | 1,52 | | 0,95 |

max

I-I [1],

[2] [3].

1. . . . // 2010. . 55. 6. . 1034-1036.
2. . . . //
3. . . . // 2018. . 32. 7. . 35-37. . . . // 2019. . 33. 3. . 50-52.

valeria_bel@mail.ru,

() : 5,10,15,20-(4'-
)-21,23- , 5,10,15,20- (4'-
, 5,10,15,20- , 5,10,15,20- (4 -) ,
([2-(- -)]-5,10,15,20-) (III) - -

NH₄F.

().

0,2 Na₂SO₄.

30-60

2-3

-25

« »

NH₄F

60

65

3

20

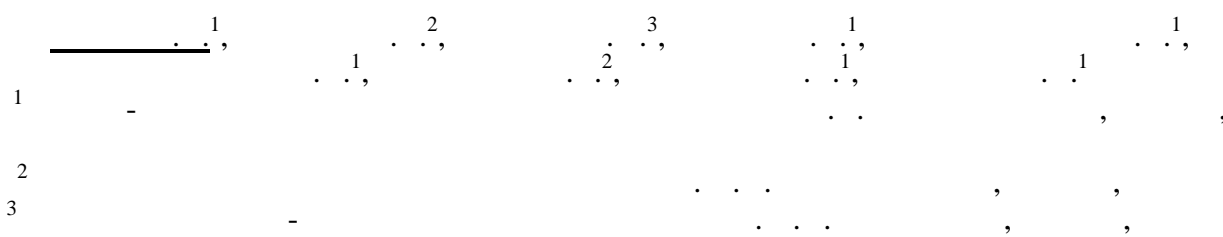
15

60-65

-3863.2021.1.3

(

075-15-2021-671)



evseevak@sklif.mos.ru

Ni-W Ni-W-P,

« » (50) « » (50 100)

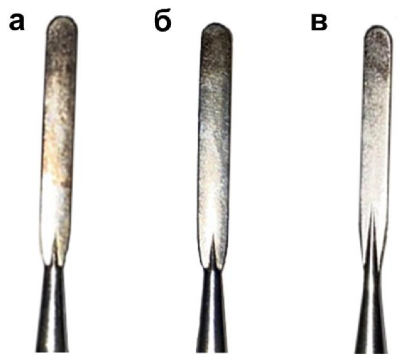
Ni-W Ni-W-P

« »
Ni-W-P

« ».
Ni-W.

- Ni-

W
Ni-W-P (. 1).



. 1.
Ni-W, - : - Ni-W-P. , -

Ni-W-P

| | |
|--|----|
| · ” · · — , , | 5 |
| | |
| · · — | 6 |
| · ” · · | 7 |
| · · | 8 |
| · · - | 9 |
| | |
| · ” · ” · ” · · | 13 |
| · ” · ” · ” · · | 14 |
| · ” · ” · · Fe-W : | 15 |
| · ” · ” · ” · ” · ” · ” · ” · ” · · | 16 |
| · ” · ” · ” · ” · ” · ” · ” · ” · · , 6 | 17 |
| · ” · · | 18 |
| · ” · ” · ” · · (4-) 5,10,15,20- | 19 |
| · ” · ” · ” · ” · · | |

| | |
|--|----|
| | 20 |
| · ” · ” · ” · ” | 21 |
| · ” Zr0.84Y0.16O1.92 · ” · ” | 22 |
| · ” | 23 |
| · ” · ” · ” · ” BmImX (X = TFSI-, OTf-, DCA-) | 24 |
| · ” | 25 |
| · ” FE-W | 26 |
| · ” · ” | 29 |
| · ” ” · ” · ” · ” -5,10,15,20- (m-) | 30 |
| · ” · ” | 31 |
| · ” ” · ” · ” - | 32 |
| · ” · ” · ” · ” -)-2,3,7,8,12,13,17,18- 10,15,20- -5-(4- | 33 |
| · ” · ” · ” · ” - - | 34 |
| · ” · ” | 35 |
| · ” · ” · ” - | |

| | | |
|--|-----------------------------------|--------|
| | - | 36 |
| · · · | · · · | · · · |
| · · · | · · · | · · · |
| 45 | - | 37 |
| · · · | · · · | · · · |
| Mn _{1.5} Co _{1.5} O ₄ | , | 38 |
| · · · | · · · | · · · |
| | | 39 |
| · · · | · · · | · · · |
| - | | 40 |
| · · · | · · · | · · · |
| | | 1- -1- |
| | | 41 |
| · · · | · · · | · · · |
| · · · | · · · | · · · |
| -3- | / | 1- |
| | | 42 |
| · · · | · · · | · · · |
| | Co _x TiSe ₂ | 43 |
| · · · | · · · | · · · |
| | | 44 |
| · · · | · · · | · · · |
| | | 45 |
| · · · | · · · | · · · |
| | , | 46 |
| · · · | · · · | · · · |
| | | 47 |
| · · · | · · · | · · · |
| | - | 48 |
| · · · | · · · | · · · |
| | IN SITU | 49 |
| · · · | · · · | · · · |

| | |
|--|----|
| | 50 |
| · · · · · 20 () - | 51 |
| · · · · · | 52 |
| · · · · · · · · · · 20 | 53 |
| · · · · · | 54 |
| · · · · · | 55 |
| · · · · · · · · · · | 56 |
| · · · · · · · · · · · · · · · - | 57 |
| · · · · · · · · · · · · · · · CuCrSe ₂ | 58 |
| · - | 59 |
| · | 60 |
| · | 61 |
| · | 62 |
| · · · · · · · · · · · · · · · · | 63 |

| | |
|------------------------------|----|
| · · | 64 |
| · ” · ” · · | 65 |
| · ” · ” · ” · · | 66 |
| · ” · ” · · : | 68 |
| · ” · ” · ” · · - | 69 |
| · ” · ” · ” N- | 70 |
| · ” · ” · ” · ” · ” (N-) | 71 |
| · ” · ” · ” · ” · · | 72 |
| · ” · ” · · Ni-Cr Co-Cr | 73 |
| · ” · · | 74 |
| · ” · ” · · , | 75 |
| · ” · · | 76 |
| · ” · ” · ” · · 6 | 77 |
| · ” · ” · ” · ” · · - | 78 |
| · ” · ” · ” · ” · · - | |

| | |
|-----------------|----|
| | 79 |
| N,N- | 80 |
| - | 81 |
| - | 82 |
| 5,10,15,20- (4- | 83 |
| Ag(I), Ag-Zn | 84 |
| | 85 |
| -34 -32 | 86 |
| | 87 |
| - | 88 |
| 12 | 89 |
| | 90 |
| -4- 5- | 91 |
| - | 92 |
| | 93 |
| - | 94 |
| | |

| | |
|-----------------|-----|
| | 95 |
| MoSe2 | 97 |
| F -W | 98 |
| Fe-W | 99 |
| | 100 |
| -1(2)- 2- 2,5- | 101 |
| | 102 |
| | 103 |
| | 104 |
| | 105 |
| | 106 |
| T Re-Cu-Se | 107 |
| | 108 |
| 2-1 | 109 |
| | 110 |
| Au(I) | 111 |

| | | |
|---|----|-----|
| · ” · ” · ” · ” | Nb | 112 |
| · ” · ” · ” · ” · ” | | |
| BaLaIn _{0.5} Y _{0.5} O ₄ | | 113 |
| · ” · ” · ” · ” · ” | | |
| Ba ₁₊ La ₁₋ In _{0.5} Y _{0.5} O ₄ | | 114 |
| · ” | | 115 |
| · ” | | 116 |
| · ” · ” · ” · ” | | |
| Pt/Mo ₂ C | | 117 |
| · ” · ” · ” · ” | | |
| Sr-Ho-Fe-O | | 118 |
| · ” · ” | | |
| 1. | | 119 |
| · ” · ” | | |
| 2. | | 120 |
| · ” · ” · ” · ” | | |
| 1,2- | | 121 |
| · ” · ” · ” · ” · ” | | |
| · ” · ” · ” | | 122 |
| · ” · ” · ” · ” | | |
| — | | 123 |
| · ” · ” · ” | | |
| S- | | 124 |
| · ” · ” · ” · ” | | |

| | |
|--|-----|
| | 125 |
| · ” · ” · ” · ” | 126 |
| · ” · ” · ” · ” - | 127 |
| · ” · ” · ” · ” · ” - | 128 |
| · ” · ” · ” · ” · ” · ” · ” Ni-W Ni-W-P | 129 |



143405, +7969-077-7272
e-mail: akalodgic.ru@gmail.com
www.ilpa-tech.ru



427968,
(34147) 4-27-53, 4-32-48
e-mail: elecond@elcudm.ru
: www.elecond.ru



Исследовательские потенциостаты-гальваностаты с опциями измерения импеданса;
Внешние усилители тока и напряжения;
Измерители импеданса;
Тестирование материалов;
Промышленные и исследовательские станции тестирования батарей;
Станции тестирования топливных элементов;
Сканирующие системы;
Устройства вращающегося электрода;
Устройства кварцевого микробаланса;
Аксессуары для тестирования батарей и ХИТ;
Широкий спектр ячеек, электродов и т.д.
Спектрометры кругового дихроизма.



Официальный представитель в РФ
ООО "АКА-ЛОДЖИК"
г. Красногорск, Ильинское ш, дом № 1А, пом 14.2
+7 (969) 077-72-72;
www.ilpa-tech.ru, www.aka-logic.ru



Предприятие разрабатывает и производит конденсаторы, которые применяются в авиационной и космической технике, средствах связи и радиолокации, преобразователях, медицинской аппаратуре, приборостроении, транспорте, системах обеспечения качества электроснабжения, бытовой электронике и других областях.





Разработка и производство конденсаторов

оксидно-электролитические алюминиевые конденсаторы

K50-15, K50-17, K50-27, K50-37, K50-68, K50-77, K50-80, K50-81, K50-83, K50-84, K50-85, K50-86, K50-87, K50-88, K50-89, K50-90, K50-91, K50-92, K50-93, K50-94, K50-95(чип), K50-96, K50-97(чип), K50-98, K50-99, K50-100, K50-101(чип), K50-102, K50-103, K50-104

объемно-пористые танталовые конденсаторы

K52-1, K52-1М, K52-1БМ, K52-1Б, K52-9, K52-11, K52-17, K52-18, K52-19, K52-20, K52-21, K52-24, K52-26(чип), K52-27(чип), K52-28, K52-29, K52-30

оксидно-полупроводниковые танталовые конденсаторы

K53-1А, K53-7, K53-65(чип), K53-66, K53-68(чип), K53-69(чип), K53-71(чип), K53-72(чип), K53-74(чип), K53-77(чип), K53-78(чип), K53-82

суперконденсаторы (ионисторы)

K58-26, K58-27, K58-28, K58-29, K58-30, K58-31, K58-32, K58-33

накопители электрической энергии на основе модульной сборки суперконденсаторов НЭЭ, МИК, МИЧ, ИТИ

Система менеджмента качества сертифицирована на соответствие требованиям ISO 9001

Россия, 427968, Удмуртская Республика, г. Сарапул, ул. Калинина, 3
Тел.: (34147) 2-99-53, 2-99-89, 2-99-77, факс: (34147) 4-32-48, 4-27-53
e-mail: elecond-market@elcudm.ru, <http://www.elecond.ru>

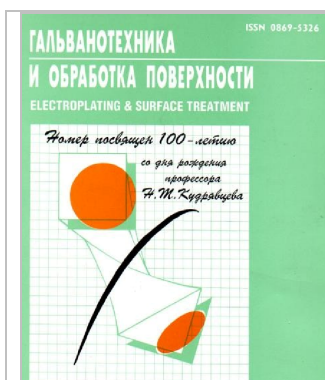




Год основания – 1958 г.
 Периодичность – 12 выпусков в год
 Тираж – 400 экз.
 Язык публикаций – русский, английский
 Вид издания – печатная версия, электронная версия
 Импакт-фактор РИНЦ (2013 г.) – **0,577**
 Редакционная коллегия – **международная**
 Учредитель – ФГБОУ ВО «**Ивановский государственный химико-технологический университет**»
 Адрес редакции: пр. Шереметевский, 7, г. Иваново, 153000
 тел.: +7(4932)32-73-07, e-mail: ivkkt@isuct.ru,
<http://journals.isuct.ru/ctj>

Журнал включен в международные базы данных **RSCI Web of Science, Chemical Abstracts и EBSCO Publishing (США)**, а также в «Перечень рецензируемых научных изданий, в которых должны быть опубликованы основные научные результаты диссертаций на соискание ученой степени кандидата и доктора наук» (ВАК)

Журнал издается при содействии Академии инженерных наук им. А.М. Прохорова



« 1992 . »

(443)

2017 = 0,489

-
-
- Ulrich's International Periodicals Directory (Title Id: 419193)
- CAS Source Index (CASSI)
-

«

»

XII

ISBN 978-5-905364-18-1

ISBN 978-5-905364-18-1

